

Razdvajanje azeotropne smjese n-pentan(1) - metanol(2) metodom promjene tlaka

Mirić, Dario

Undergraduate thesis / Završni rad

2019

Degree Grantor / Ustanova koja je dodijelila akademski / stručni stupanj: **University of Zagreb, Faculty of Chemical Engineering and Technology / Sveučilište u Zagrebu, Fakultet kemijskog inženjerstva i tehnologije**

Permanent link / Trajna poveznica: <https://urn.nsk.hr/urn:nbn:hr:149:605821>

Rights / Prava: [In copyright/Zaštićeno autorskim pravom.](#)

Download date / Datum preuzimanja: **2024-05-19**



FKIT**MCMXIX**

Repository / Repozitorij:

[Repository of Faculty of Chemical Engineering and Technology University of Zagreb](#)



SVEUČILIŠTE U ZAGREBU
FAKULTET KEMIJSKOG INŽENJERSTVA I TEHNOLOGIJE
SVEUČILIŠNI PREDDIPLOMSKI STUDIJ

Dario Mirić

ZAVRŠNI RAD

Zagreb, lipanj 2019.

SVEUČILIŠTE U ZAGREBU
FAKULTET KEMIJSKOG INŽENJERSTVA I TEHNOLOGIJE
SVEUČILIŠNI PREDDIPLOMSKI STUDIJ

Dario Mirić

RAZDVAJANJE AZEOTROPNE SMJESE *n*-PENTAN(1) – METANOL(2)
METODOM PROMJENE TLAKA

ZAVRŠNI RAD

Voditelj rada: prof. dr. sc. Marko Rogošić

Članovi ispitnog povjerenstva:

prof. dr. sc. Marko Rogošić

prof. dr. sc. Aleksandra Sander

doc. dr. sc. Igor Dejanović

Zagreb, lipanj 2019.

ZAHVALA

Veliko hvala mentoru prof. dr. sc. Marku Rogošiću bez kojega ovaj rad ne bi mogao biti napravljen.
Svakako bih zahvalio i svojoj obitelji i prijateljima koji su mi bili podrška tijekom studija.

SAŽETAK

Ovaj rad istražuje mogućnost separacije azeotropne smjese *n*-pentan(1) – metanol(2) metodom promjene tlaka. Smisao je promjenom tlaka sustava pomaknuti azeotropnu točku prema rubu faznog dijagrama. Za predviđanje ponašanja smjese pri različitim tlakovima korištena je Stryek-Verina modifikacija Peng-Robinsonove jednadžbe stanja uz Wong-Sandlerova pravila miješanja. Kako bi se te jednadžbe mogle koristiti, trebalo je prvo iz eksperimentalnih podataka optimirati parametre tih jednadžbi pri čemu je korišten Wilsonov model koeficijenta aktivnosti i Taitova jednadžba ovisnosti gustoće kapljevinu o tlaku i temperaturi. Pokazuje se kako je metoda promjene tlaka neprikladna za separaciju ovog azeotropa jer je separaciju moguće provesti samo sniženjem tlaka, a u tom slučaju smanjuje se mješljivost komponenata u kapljevitoj fazi što u konačnici dovodi do stvaranja heterogenog azeotropa kojeg nije moguće odvojiti jednostavnom destilacijom.

Ključne riječi: destilacija uz promjenu tlaka, azeotropna točka, Stryek-Verina modifikacija, Peng-Robinsonova jednadžba stanja, Wong-Sandlerova pravila miješanja, Wilsonov model koeficijenta aktivnosti, Taitova jednadžba

ABSTRACT

Separation of azeotropic mixture *n*-pentane – methanol by pressure swing

This work investigates the possibility to separate *n*-pentane(1) – methanol(2) azeotropic mixture by pressure swing method. Essentially, by changing system pressure the azeotropic point shifts towards one side of the phase diagram. For predicting behaviour of mixture at different pressures, the Stryek-Vera modification of Peng-Robinson equation of state was used with the Wong-Sandler mixing rules. In order to use those equations, the parameters had to be determined from available experimental data, which involved Wilson activity coefficient model as well as Tait equation used for the description of the dependence of liquid density on temperature and pressure. It was shown that pressure swing method was not the best option for the separation of this azeotrope because this system can only be separated by reducing the pressure. The pressure reduction will produce partial miscibility of components in liquid phase and thus create heterogeneous azeotrope making normal distillation impossible.

Key words: pressure swing distillation, azeotropic point, Stryek-Vera modification, Peng-Robinson equation of state, Wong-Sandler mixing rules, Wilson activity coefficient model, Tait equation

SADRŽAJ

| | |
|---|----|
| 1. Uvod | 1 |
| 2. Teorijski dio | 2 |
| 2.1 Fizikalno-kemijske osnove i jednadžba ravnoteže para-kapljevina | 2 |
| 2.2 Azeotropne smjese | 4 |
| 2.3 Razdvajanje azeotropa promjenom tlaka | 5 |
| 2.4 Taitova jednadžba | 6 |
| 2.5 Stryek-Verina modifikacija Peng-Robinsonove jednadžbe stanja | 6 |
| 2.6 Wilsonov model koeficijenta aktivnosti | 7 |
| 2.7 Wong-Sandlerova pravila miješanja | 9 |
| 3. Literaturni podatci | 10 |
| 4. Rezultati i rasprava | 16 |
| 4.1 Određivanje parametara Taitove jednadžbe | 16 |
| 4.2 Određivanje Stryek-Verina parametra | 19 |
| 4.3 Određivanje parametara Wilsonova modela | 21 |
| 4.4 Određivanje Wong-Sandlerova parametra | 22 |
| 4.5 Pomicanje azeotropne točke promjenom tlaka i temperature | 24 |
| 4.6 Usporedba eksperimentalnih i računskih faznih dijagrama | 26 |
| 5. Zaključak | 29 |
| 6. Popis simbola | 30 |
| 7. Popis literature | 33 |
| 8. Prilozi | 34 |
| 8.1 Proračun parametara Taitove jednadžbe | 34 |
| 8.2 Proračun Stryek-Verinih parametara | 35 |
| 8.3 Proračun parametara Wilsonova modela | 37 |
| 8.4 Proračun Wong-Sandlerova parametra | 39 |
| 8.5 Konstrukcija izobarnoga faznoga dijagrama | 43 |
| 8.6 Konstrukcija izoternog faznoga dijagrama | 46 |
| 9. Životopis | 49 |

1. UVOD

U ovom radu obrađuje se u prvom redu ravnoteža para-kapljevina koja je karakteristična za destilaciju. Destilacija je separacijski proces koji se temelji na različitoj hlapivosti odnosno vrelištu komponenata smjese. Zbog razlike u vrelištu komponenata para i kapljevina nemaju isti sastav što se iskorištava za njihovu separaciju, a u najvećem broju slučajeva parna faza bogatija je lakše hlapivom komponentom u odnosu na kapljevitu, osim u azeotropnih sustavima. U većini se slučajeva dakle parna faza obogaćuje lakše hlapivom, a kapljevina teže hlapivom komponentom. Azeotropne se smjese ne mogu razdvojiti jednostavnom destilacijom jer se kao produkt vrha ili dna kolone dobiva smjesa azeotropnog sastava, a ne čista komponenta. Azeotropne sustave moguće je razdvojiti promjenom tlaka sustava ili dodatkom treće komponente u sustav pri čemu razlikujemo ekstraktivnu i azeotropnu destilaciju. Metoda promjene tlaka temelji se na promjeni azeotropnog sastava s tlakom što omogućuje uklanjanje azeotropa, a upravo će sa ta metoda razmatrati u ovom radu. Sustav koji će se obrađivati u ovom radu jest *n*-pentan(1) – metanol(2). Ovaj sustav tvori azeotrop s minimumom vrelišta, a zanimljiv je zbog različite kemijske prirode komponenata koja bi mogla utjecati na mješljivost komponenata u kapljevitoj fazi pri različitim tlakovima što bi posljedično moglo utjecati na mogućnost razdvajanja azeotropa razmatranom metodom. Kako bi se moglo računski predvidjeti ponašanje sustava pri različitim tlakovima, potrebno je izračunati parametre različitih korištenih jednadžbi iz dostupnih eksperimentalnih podataka. Cilj ovog rada jest vidjeti kako promjena tlaka sustava utječe na pomak azeotropne točke i može li se sustav takvom metodom razdvojiti na čiste komponente.

2. TEORIJSKI DIO

2.1 Fizikalno-kemijske osnove i jednadžba ravnoteže para-kapljevina

Fazna ravnoteža para-kapljevina najčešće se promatra u zatvorenim sustavima pri uvjetima konstantnog tlaka i temperature. U takvim sustavima drugi zakon termodinamike definira da je za bilo kakav spontani proces koji se odvija bez utroška energije promjena Gibbsove energije uvijek manja od nule ili jednaka nuli. To se može prikazati sljedećim izrazom:

$$dG_{p,T} \leq 0. \quad (1)$$

U stanju ravnoteže ta je promjena jednaka nuli, a iz izraza (1) vidljivo je da Gibbsova energija tada poprima svoju minimalnu vrijednost. Za ravnotežu para-kapljevina taj je izraz bolje napisati u prikladnijem obliku:

$$d\mu_{p,T} \leq 0. \quad (2)$$

Nejednadžba kaže da je promjena kemijskog potencijala odnosno parcijalne molarne Gibbsove energije svake komponente sustava uvijek jednaka ili manja od nule, odnosno svaka komponenta sustava, pri nekoj temperaturi i tlaku, prelazi spontano u fazu u kojoj ima manju vrijednost kemijskog potencijala do njegova izjednačavanja. Stanje ravnoteže implicira jednaku vrijednost kemijskog potencijala svake komponente u pari i kapljevini. Za sustav od nk komponenata to se iskazuje skupom od nk jednadžbi oblika:

$$\mu_i^L = \mu_i^V, \quad (3)$$

gdje je i neka komponenta sustava.

Jednadžba (3) naziva se jednadžbom fazne ravnoteže, a iz nje se mogu izvesti drugi važni oblici te jednadžbe koje se uobičajeno koriste pri proračunu ravnoteže para-kapljevina. Jednakost kemijskih potencijala određuje i jednakost parcijalnih fugacitivnosti komponenata u pari i kapljevini, a to se može pokazati iz ovisnosti kemijskog potencijala o fugacitivnosti pri konstantnoj temperaturi¹.

Fugacitivnost je veličina koja je uvedena kako bi se kemijski potencijal realnih plinova mogao računati istim matematičkim oblikom kao za idealne plinove što pojednostavljuje jednadžbe za proračun.

Ovisnost kemijskog potencijala komponente i , μ_i , o parcijalnoj fugacitivnosti, f_i , pri konstantnoj temperaturi T dana je sljedećom jednadžbom:¹

$$d\mu_i = RT d\ln f_i, \quad (4)$$

Integriranjem u granicama kemijskog potencijala i parcijalne fugacitivnosti komponente i u parnoj i kapljevitoj fazi dobiva se:

$$\mu_i^V - \mu_i^L = RT \ln \left(\frac{f_i^V}{f_i^L} \right). \quad (5)$$

Fazna ravnoteža uvjetuje da je lijeva strana jednadžbe (5) jednaka nuli iz čega slijedi:

$$f_i^V = f_i^L. \quad (6)$$

Jednadžba (6) može se dalje raspisati kako bi se dobio koristan izraz za proračun koeficijenata aktivnosti komponenata u kapljevitoj fazi. Fugacitivnost komponente i u parnoj fazi može se prikazati kao umnožak parcijalnog tlaka komponente i te parcijalnog koeficijenta fugacitivnosti komponente i u parnoj fazi:

$$f_i^V = y_i p \varphi_i^V, \quad (7)$$

gdje je y_i molarni udio komponente u pari, p je tlak sustava, a φ_i^V je parcijalni koeficijent fugacitivnosti komponente u pari. Taj je izraz dobiven iz definicije fugacitivnosti preko tlaka.

Fugacitivnost komponente i u kapljevitoj fazi f_i^L može se prikazati kao umnožak fugacitivnosti standardnog stanja komponente u kapljevitoj fazi $f_i^{L^\circ}$ i aktivnosti komponente u kapljevitoj fazi a_i .¹ Za standardno stanje komponente u kapljevini dogovorno se uzima stanje čiste kapljevine pri temperaturi i tlaku sustava. Aktivnost komponente jest umnožak molarnog udjela komponente u kapljevini x_i i koeficijenta aktivnosti γ_i :

$$f_i^L = f_i^{L^\circ} x_i \gamma_i. \quad (8)$$

Jednadžba (8) dobivena je iz najopćenitije definicije aktivnosti.

Fugacitivnost standardnog stanja komponente i u kapljevini može se prikazati kao umnožak ravnotežne fugacitivnosti komponente, f_i^* , pri temperaturi sustava i odgovarajućem ravnotežnom tlaku čiste komponente i , p_i^* , te Poyntingova faktora PF ¹. Ta jednadžba dobivena je iz ovisnosti fugacitivnosti o tlaku pri stalnoj temperaturi. Korištenjem definicije fugacitivnosti napisat će se ravnotežna fugacitivnost komponente kao umnožak ravnotežnoga tlaka čiste komponente p_i^* i odgovarajućega ravnotežnoga koeficijenta fugacitivnosti φ_i^* :

$$f_i^{L^\circ} = p_i^* \varphi_i^* PF. \quad (9)$$

Poyntingov faktor definira se kao:

$$PF = \exp \left[\frac{v_i^L (p - p_i^*)}{RT} \right]. \quad (10)$$

gdje je v_i^L molarni volumen čiste kapljevite komponente pri temperaturi sustava. Izraz za Poyntingov faktor dobiven je uz pretpostavku da je molarni volumen čistih komponenata neovisan o tlaku što nije velika pogreška osim u slučaju da se komponente nalaze blizu kritične točke.

Izjednačavanjem jednadžbe (7) i (8) dobiva se:

$$y_i p \varphi_i^V = p_i^* \varphi_i^* x_i \gamma_i PF. \quad (11)$$

Jednadžba (11) predstavlja sasvim općenit izraz jednadžbe ravnoteže para-kapljevina koji se može iskoristiti, kao što je spomenuto, za proračun koeficijenata aktivnosti u eksperimentalnim uvjetima čime se dalje mogu odrediti parametri modela koeficijenta aktivnosti. Jednadžbu je moguće, uz odgovarajuća ograničenja i pretpostavke, pojednostaviti.

Zanemari li se neidealnost parne faze, vrijednosti koeficijenata fugacitivnosti postaju jedan. Takvu pretpostavku moguće je napraviti ako se ravnoteža para-kapljevina promatra pri niskim tlakovima jer se u tim uvjetima para vlada idealno. Poyntingov se faktor u većini slučajeva može zanemariti,

odnosno njegova vrijednost približno je jednaka jedinici zbog toga što je član $v_i^L(p-p_i^*)$ puno manji od RT . U slučajevima u kojima ravnotežni tlak čiste komponente znatnije odstupa od tlaka sustava treba i Poyntingov faktor uzeti u obzir, a to će općenito vrijediti u sustavima u kojima se vrelišta čistih komponenata znatnije razlikuju pri niskim udjelima komponente u kapljevitoj fazi.

Uz prethodno navedena ograničenja može se napisati izraz za koeficijent aktivnosti komponente i u kapljevini:

$$\gamma_i = \frac{y_i p}{x_i p_i^*}. \quad (12)$$

Takov izraz pogodan je za računanje vrijednosti koeficijenata aktivnosti komponenata pri niskim tlakovima i bit će korišten u ovom radu.

2.2 Azeotropne smjese

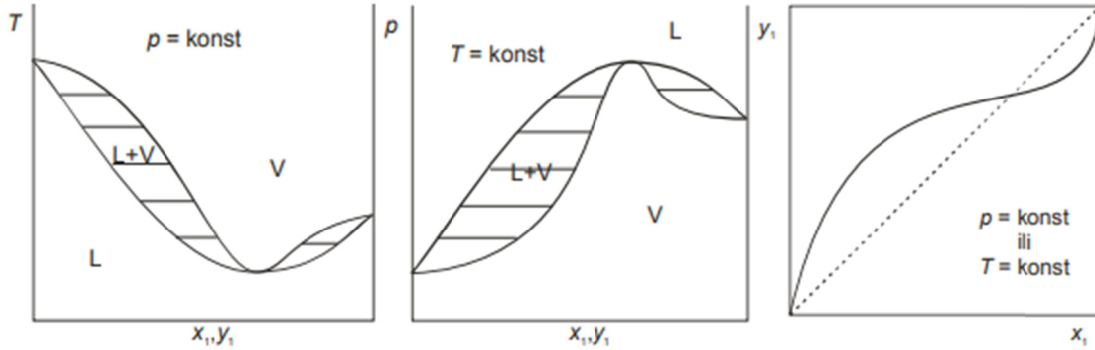
Azeotropne smjese su smjese koje za određene uvjete tlaka i temperature imaju jednak sastav parne i kapljevite faze, pa se zbog toga komponente te smjese ne mogu u potpunosti odvojiti jednostavnom destilacijom. Azeotropija se pojavljuje u jako neidealnim sustavima i karakteristična je za sustave u kojima komponente imaju bliska vrelišta¹. Neidealnost sustava očituje se u odstupanju ravnotežnog tlaka sustava od onog predviđenog Raoultovim zakonom, a opisuje se koeficijentom aktivnosti komponenata. Parcijalni tlak komponenata može se izračunati iz jednadžbe fazne ravnoteže pod uvjetom niskih tlakova i uz zanemarivanje Poyntingova faktora:

$$p_i = x_i \gamma_i p_i^*. \quad (13)$$

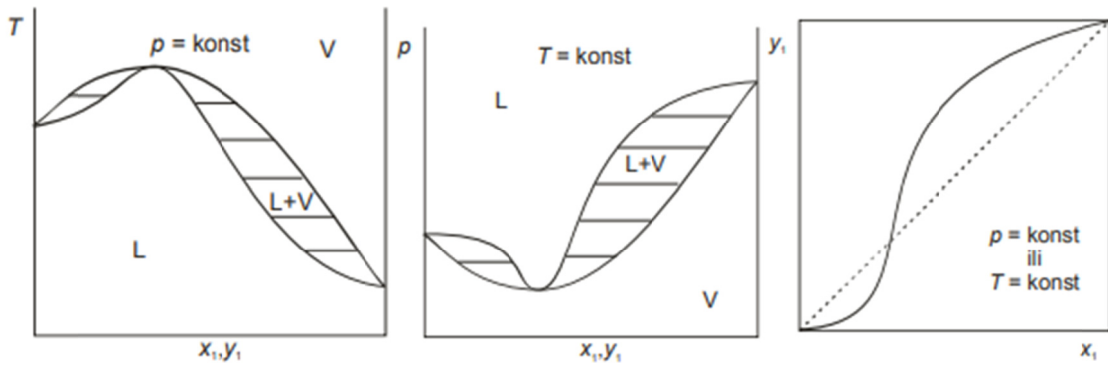
Ukupni ravnotežni tlak sustava zbroj je parcijalnih tlakova komponenata.

Neidealnost kapljevite faze posljedica je razlike međudjelovanja molekula komponenata u kapljevitoj fazi. Kada su heterogena međudjelovanja nepovoljnija od homogenih, molekule teže prijeći iz kapljevine, koja je energetski nepovoljno okružje, u paru jer su u pari udaljenosti između molekula, a time i međudjelovanja puno slabije izražena. Zbog težnje molekula da prijeđu u paru dolazi do povećanja tlaka para, a sustav pokazuje pozitivno odstupanje od Raoultova zakona. Suprotno tome, kada su heterogena međudjelovanja povoljnija od homogenih, što je slučaj za sustave u kojima postaje neka specifična povoljna međudjelovanja, molekule teže ostati u kapljevini koja je energetski povoljno okružje. U tom je slučaju težnja molekula da prijeđu u paru smanjena što će se odraziti u sniženju tlaka para sustava. Sustav pokazuje negativno odstupanje od Raoultova zakona. Takvi sustavi rjeđi su od prvo navedenih što je i razumljivo s obzirom na to da su heterogena međudjelovanja obično nepovoljnija u odnosu na homogena, odnosno molekule se češće lakše povezuju s istovrsnim nego s različitim molekulama.

Na slici 1 i 2 prikazani su fazni dijagrami u dvokomponentnim (binarnim) sustavima s minimumom, odnosno maksimumom vrelišta, tj. s pozitivnim, odnosno negativnim odstupanjem od Raoultova zakona¹.



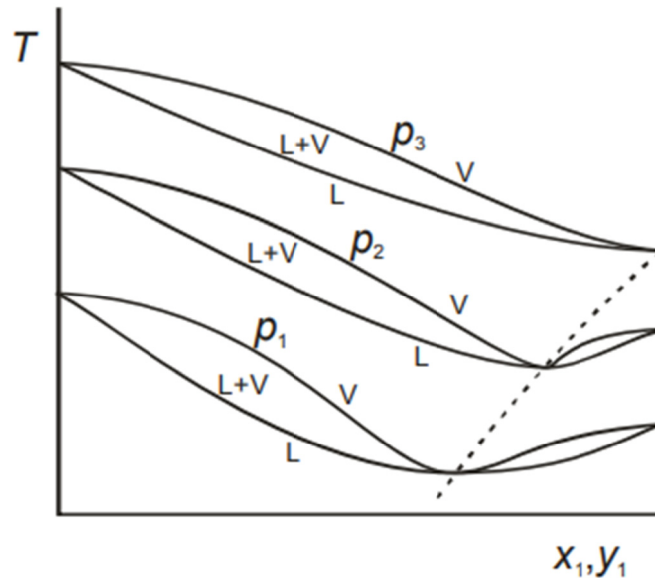
Slika 1. Prikaz faznih dijagrama za dvokomponentni azeotrop s pozitivnim odstupanjem od Raoultova zakona



Slika 2. Prikaz faznih dijagrama za dvokomponentni azeotrop s negativnim odstupanjem od Raoultova zakona

2.3 Razdvajanje azeotropa metodom promjene tlaka

Kao što je već spomenuto, azeotrope nije moguće u potpunosti razdvojiti jednostavnom destilacijom jer para i kapljevina u azeotropnoj točki imaju jednak sastav što znači da na vrhu ili dnu destilacijske kolone u kojoj se provodi separacija dolazi do stvaranja azeotropne smjese čiji se sastav dalje ne mijenja. Postoji više metoda koje se koriste za razdvajanje azeotropa, a ovaj će se rad baviti metodom promjene tlaka. Promjenom tlaka pri kojem se vrši destilacija dolazi do promjene faznog dijagrama sustava, a time i do pomicanja azeotropnog sastava prema rubu faznog dijagrama. Optimalno bi bilo naći tlak pri kojem azeotrop u potpunosti nestaje ili barem naći tlak pri kojem se dobiva zadovoljavajuća čistoća gornjeg ili donjeg produkta. Razdvajanje azeotropa metodom promjene tlaka moguće je shematski prikazati na faznom dijagramu nekog azeotropnog sustava, slika 3.¹ Vidi se da povećanjem tlaka dolazi do pomaka azeotropne točke udesno prema čistoj komponenti 1. Pri tlaku p_3 azeotrop nestaje, a smjesu je moguće u potpunosti razdvojiti jednostavnom destilacijom.



Slika 3. Shematski prikaz razdvajanja azeotropa metodom promjene tlaka.

2.4 Taitova jednadžba

Taitova jednadžba je jednadžba stanja kapljivina koja daje ovisnost gustoće kapljivine o tlaku i temperaturi. To je empirijska jednadžba čiji se parametri za danu kapljevinu određuju računski, regresijskom analizom eksperimentalnih podataka. Prednost Taitove jednadžbe jest da je ona primjenjiva u širokom području tlakova i temperatura. Oblik Taitove jednadžbe korišten u ovom radu jest sljedeći:²

$$\frac{\rho - \rho_0}{\rho} = C \log \left(\frac{p + B}{p_0 + B} \right), \quad (14)$$

gdje je ρ gustoća kapljivine, p je tlak, p_0 je referentni tlak od 1 bar, ρ_0 je referentna gustoća pri tlaku od 1 bar dana kao funkcija temperature, B i C su parametri Taitove jednadžbe koji ovise o vrsti i sastavu kapljivine. C je za organske kapljivine neovisan o temperaturi dok je u članu B sadržana ovisnost gustoće o temperaturi. Ovisnosti ρ_0 i B o temperaturi dane su sljedećim izrazima:²

$$\rho_0 = \sum_{i=0}^2 a_i T^i, \quad (15)$$

$$B = \sum_{i=0}^2 b_i T^i. \quad (16)$$

2.5 Stryjek-Verina modifikacija Peng-Robinsonove jednadžbe stanja

Peng-Robinsonova jednadžba stanja povezuje osnovne veličine stanja realnih fluida $(p, T, v) = (\text{tlak}, \text{temperatura}, \text{volumen})$. Peng-Robinsonova jednadžba je troparametarska u skladu sa načelom termodinamičke sličnosti koje predviđa da fluidi istog koeficijenta acentričnosti pri jednakim

vrijednostima reducirane temperature i tlaka imaju jednaku vrijednost koeficijenta kompresibilnosti. Parametri su kritična temperatura, kritični tlak i Pitzerov koeficijent acentričnosti. Kao i većina jednadžba stanja realnih fluida korištenih u kemijskom inženjerstvu, ta jednadžba eksplisitna je po tlaku, a za volumen i koeficijent kompresibilnosti, z , daje polinom trećeg stupnja. Izrazi te jednadžbe su sljedeći:¹

$$p = \frac{RT}{v - b} - \frac{a\alpha}{v^2 + 2bv - b^2}, \quad (17)$$

$$z^3 - (1 - B)z^2 + (A - 3B^2 - 2B)z - (AB - B^2 - B^3) = 0 \quad (18)$$

Varijable A i B uvedene su zbog jednostavnosti, a definiraju se kao:¹

$$A = \frac{a\alpha p}{R^2 T^2}, \quad (19)$$

$$B = \frac{bp}{RT}. \quad (20)$$

Parametri a i b ovise o kritičnom tlaku i kritičnoj temperaturi, p_K odnosno T_K , a dani su izrazima:¹

$$a = \frac{0,45724 R^2 T_K^2}{p_K}, \quad (21)$$

$$b = \frac{0,0778 R T_K}{p_K}. \quad (22)$$

Parametri imaju i fizikalni smisao. Parametar a je interakcijski član te kao takav korigira tlak realnog plina. Parametar b određuje veličinu čestica fluida i kao takav korigira volumen realnog plina.

Parametar α određuje temperaturnu ovisnost korekcije tlaka i preko njega se uvodi Pitzerov koeficijent acentričnosti, ω . Upravo se u tom članu krije Stryek-Verina modifikacija jednadžbe stanja koja predstavlja poboljšanje te jednadžbe blizu kritičnog područja gdje PR-jednadžba znatno grieši. Naime, PR-jednadžba predviđa da je pri kritičnoj temperaturi parametar α neovisan o Pitzerovu koeficijentu acentričnosti i da je njegova vrijednost za sve fluide jednaka jedinici. Stryek-Verina modifikacija korigira tu pogrešku. Parametar α prema Stryek-Verinoj modifikaciji glasi:¹

$$\alpha = [1 + \kappa(1 - \sqrt{T_r}) + \kappa_1(1 - T_r)(0,7 - T_r)]. \quad (23)$$

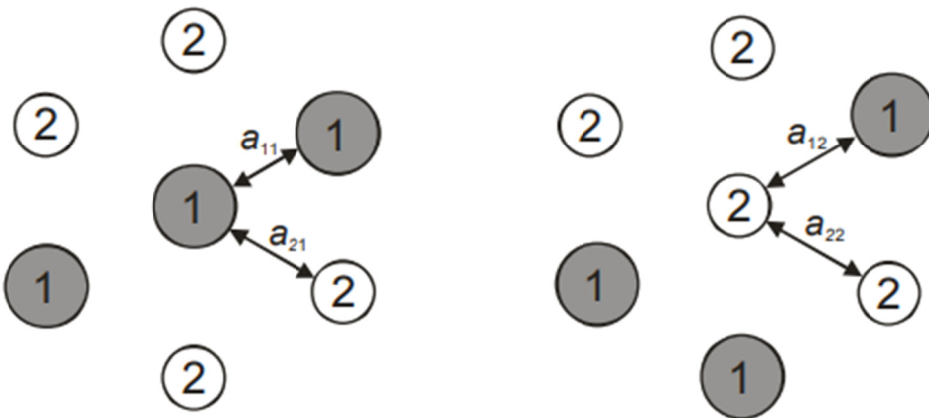
T_r je reducirana temperatura, omjer temperature sustava i kritične temperature komponente, a κ je funkcija Pitzerova koeficijenta acentričnosti:¹

$$\kappa = 0,37889 + 1,489715\omega - 0,17132\omega^2 + 0,019655\omega^3. \quad (24)$$

κ_1 je dopunski parametar karakterističan za svaki pojedini fluid, a određuje se iz eksperimentalnih podataka o krivulji isparavanja.¹

2.6 Wilsonov model koeficijenta aktivnosti

Modeli koeficijenta aktivnosti su funkcije ovisnosti koeficijenta aktivnosti i veličina izvedenih iz koeficijenta aktivnosti o sastavu višekomponentnih sustava. Oni mogu biti sasvim empirijske prirode ili se mogu temeljiti na nekakvoj fizikalnoj slici kapljivite smjese. Wilsonov model temelji se na staničnom modelu kapljivite smjese prema kojem se lokalna koncentracija neke komponente razlikuje od one u masi kapljivine, tj. od ukupnoga sastava smjese. Stanični model temelji se na središnjoj čestici neke komponente oko koje se raspodjeljuju čestice drugih komponenata. Ovisno o tome koja je komponenta zastupljena kao središnja čestica postoje dvije vrste stanica. Lokalna koncentracija ovisit će osim o ukupnom sastavu smjese i o potencijalnoj energiji međudjelovanja čestica komponenata, odnosno njenoj minimalnoj vrijednosti, vidi sliku 4.¹



Slika 4. Shematski prikaz dvije vrste stanica karakterističnih za Wilsonov model.

Ne ulazeći u izvod za izraz koeficijenta aktivnosti komponenata Wilsonova modela, vrijede sljedeće jednadžbe za dvokomponentni sustav, sastava definiranog molarnim udjelima komponenata, x_i :¹

$$\ln \gamma_1 = -\ln(x_1 + \Lambda_{12}x_2) + x_2 \left(\frac{\Lambda_{12}}{x_1 + \Lambda_{12}x_2} - \frac{\Lambda_{21}}{\Lambda_{21}x_1 + x_2} \right), \quad (25)$$

$$\ln \gamma_2 = -\ln(x_1\Lambda_{21} + x_2) - x_1 \left(\frac{\Lambda_{12}}{x_1 + \Lambda_{12}x_2} - \frac{\Lambda_{21}}{\Lambda_{21}x_1 + x_2} \right). \quad (26)$$

Parametri Wilsonova modela su Λ_{12} i Λ_{21} te uključuju geometrijska svojstva (molarne volumene čistih komponenata) i interakcijska svojstva dvokomponentnog sustava (potencijalne energije međudjelovanja), a dani su sljedećim izrazima:¹

$$\Lambda_{12} = \frac{v_2}{v_1} \exp \left(-\frac{\lambda_{12}}{RT} \right), \quad (27)$$

$$\Lambda_{21} = \frac{v_1}{v_2} \exp \left(-\frac{\lambda_{21}}{RT} \right), \quad (28)$$

gdje su λ_{12} i λ_{21} :¹

$$\lambda_{12} = a_{21} - a_{11}, \quad (29)$$

$$\lambda_{21} = a_{12} - a_{22}. \quad (30)$$

v_i su molarni volumeni kapljevitih komponenata. Glavna prednost Wilsonova modela jest njegova široka primjenjivost za opis neidealnosti raznolikih sustava, uključujući one sa polarnim komponentama. Model se zato često primjenjuje za opis ravnoteže para-kapljevina, ali ne i za opis ravnoteže kapljevina-kapljevina, što mu je glavni nedostatak, zbog toga što ne može predvidjeti djelomičnu mješljivost komponenata.¹

2.7 Wong-Sandlerova pravila miješanja

Wong-Sandlerova pravila miješanja su termodinamički korektna pravila miješanja koja se danas povremeno koriste u kemijsko-inženjerskoj praksi u modeliranju ravnoteže para-kapljevina. Široko korištene jednadžbe stanja poput SRK i PR bile su ograničene empirijskim parametrom k_{ij} koji je bio nepoznata funkcija tlaka i temperature. Cilj Wonga i Sandlera bio je dati fizikalni smisao tom parametru povezujući ga sa neidealnošću kapljevite faze.¹

Wong-Sandlerova pravila miješanja dana su sljedećim jednadžbama:¹

$$\frac{(aa)_M}{RT} = Q \frac{D}{1 - D}, \quad (31)$$

$$b_M = \frac{Q}{1 - D}, \quad (32)$$

$$Q = \sum_i \sum_j x_i x_j \left[b_{ij} - \frac{(aa)_{ij}}{RT} \right], \quad (33)$$

$$D = \sum_i x_i \frac{(aa)_i}{b_{ii} RT} + \frac{g_Y^{\text{ex}}(T, x)}{CRT}, \quad (34)$$

$$b_{ij} - \frac{(aa)_{ij}}{RT} = \sqrt{\left(b_{ii} - \frac{(aa)_{ii}}{RT} \right) \left(b_{jj} - \frac{(aa)_{jj}}{RT} \right)} (1 - k_{ij}). \quad (35)$$

Wong-Sandlerov parametar k_{ij} pojavljuje se u jednadžbi (35), a povezuje parametre komponenata s ukrštenim parametrima smjese.

3. LITERATURNI PODATCI

U ovom dijelu, u tablicama 1 do 7 navedeni su svi eksperimentalni podatci o razmatranome sustavu. Sustav koji se razmatra u ovom radu jest *n*-pentan(1) – metanol(2).

Tablica 1. Ovisnost gustoće kapljivitoga *n*-pentana o tlaku i temperaturi.

Podaci prema Byunu i suradnicima² odnosno Wuu.³

| $\rho/(\text{g cm}^{-3})$ | p/bar | $T/^\circ\text{C}$ |
|---------------------------|----------------|--------------------|---------------------------|----------------|--------------------|---------------------------|----------------|--------------------|---------------------------|----------------|--------------------|
| 0,607 | 70,7 | 50 | 0,575 | 139,6 | 100 | 0,561 | 208,6 | 130 | 0,653 | 553 | 52,7 |
| 0,613 | 105,1 | 50 | 0,581 | 174,1 | 100 | 0,573 | 277,5 | 130 | 0,664 | 709 | 52,7 |
| 0,617 | 139,6 | 50 | 0,586 | 208,6 | 100 | 0,583 | 346,5 | 130 | 0,672 | 841 | 52,7 |
| 0,621 | 174,1 | 50 | 0,596 | 277,5 | 100 | 0,604 | 518,8 | 130 | 0,686 | 1102 | 52,7 |
| 0,625 | 208,6 | 50 | 0,604 | 346,5 | 100 | 0,621 | 689,5 | 130 | 0,7 | 1378 | 52,7 |
| 0,632 | 277,5 | 50 | 0,622 | 518,8 | 100 | 0,648 | 1034,2 | 130 | 0,714 | 1710 | 52,7 |
| 0,639 | 346,5 | 50 | 0,637 | 689,5 | 100 | 0,671 | 1380,7 | 130 | 0,727 | 2062 | 52,7 |
| 0,654 | 518,8 | 50 | 0,663 | 1034,2 | 100 | 0,69 | 1725,4 | 130 | 0,739 | 2395 | 52,7 |
| 0,666 | 689,5 | 50 | 0,683 | 1380,7 | 100 | 0,707 | 2070,1 | 130 | 0,75 | 2755 | 52,7 |
| 0,688 | 1034,2 | 50 | 0,701 | 1725,4 | 100 | 0,722 | 2414,9 | 130 | 0,553 | 286 | 149,9 |
| 0,707 | 1380,7 | 50 | 0,717 | 2070,1 | 100 | 0,503 | 70,7 | 150 | 0,57 | 437 | 149,9 |
| 0,723 | 1725,4 | 50 | 0,732 | 2414,9 | 100 | 0,516 | 105,1 | 150 | 0,592 | 568 | 149,9 |
| 0,737 | 2070,1 | 50 | 0,55 | 70,7 | 110 | 0,526 | 139,6 | 150 | 0,621 | 855 | 149,9 |
| 0,75 | 2414,9 | 50 | 0,559 | 105,1 | 110 | 0,536 | 174,1 | 150 | 0,645 | 1128 | 149,9 |
| 0,583 | 70,7 | 75 | 0,567 | 139,6 | 110 | 0,544 | 208,6 | 150 | 0,658 | 1370 | 149,9 |
| 0,591 | 105,1 | 75 | 0,573 | 174,1 | 110 | 0,558 | 277,5 | 150 | 0,676 | 1719 | 149,9 |
| 0,597 | 139,6 | 75 | 0,579 | 208,6 | 110 | 0,569 | 346,5 | 150 | 0,692 | 2094 | 149,9 |
| 0,602 | 174,1 | 75 | 0,589 | 277,5 | 110 | 0,592 | 518,8 | 150 | 0,702 | 2410 | 149,9 |
| 0,606 | 208,6 | 75 | 0,598 | 346,5 | 110 | 0,61 | 689,5 | 150 | 0,712 | 2766 | 149,9 |
| 0,615 | 277,5 | 75 | 0,617 | 518,8 | 110 | 0,639 | 1034,2 | 150 | 0,472 | 285 | 247,3 |
| 0,622 | 346,5 | 75 | 0,632 | 689,5 | 110 | 0,662 | 1380,7 | 150 | 0,507 | 431 | 247,3 |
| 0,638 | 518,8 | 75 | 0,658 | 1034,2 | 110 | 0,682 | 1725,4 | 150 | 0,526 | 549 | 247,3 |
| 0,653 | 689,5 | 75 | 0,679 | 1380,7 | 110 | 0,699 | 2070,1 | 150 | 0,562 | 871 | 247,3 |
| 0,676 | 1034,2 | 75 | 0,698 | 1725,4 | 110 | 0,715 | 2414,9 | 150 | 0,584 | 1127 | 247,3 |
| 0,695 | 1380,7 | 75 | 0,714 | 2070,1 | 110 | 0,595 | 18 | 52,7 | 0,603 | 1412 | 247,3 |
| 0,712 | 1725,4 | 75 | 0,728 | 2414,9 | 110 | 0,598 | 36 | 52,7 | 0,622 | 1747 | 247,3 |
| 0,727 | 2070,1 | 75 | 0,526 | 70,7 | 130 | 0,603 | 70 | 52,7 | 0,639 | 2096 | 247,3 |
| 0,741 | 2414,9 | 75 | 0,538 | 105,1 | 130 | 0,613 | 138 | 52,7 | 0,652 | 2411 | 247,3 |
| 0,558 | 70,7 | 100 | 0,546 | 139,6 | 130 | 0,63 | 289 | 52,7 | 0,665 | 2735 | 247,3 |
| 0,568 | 105,1 | 100 | 0,554 | 174,1 | 130 | 0,643 | 433 | 52,7 | | | |

Tablica 2. Ovisnost gustoće kapljevitoga metanola o tlaku i temperaturi.

Podaci prema Abdulagatovu.⁴

| $\rho / \text{g cm}^{-3}$ | p / MPa | $T / ^\circ\text{C}$ | $\rho / \text{g cm}^{-3}$ | p / MPa | $T / ^\circ\text{C}$ | $\rho / \text{g cm}^{-3}$ | p / MPa | $T / ^\circ\text{C}$ |
|---------------------------|------------------|----------------------|---------------------------|------------------|----------------------|---------------------------|------------------|----------------------|
| 0,78555 | 0,1 | 25 | 0,79161 | 30 | 50 | 0,73178 | 15 | 100 |
| 0,79077 | 5 | 25 | 0,79572 | 35 | 50 | 0,73798 | 20 | 100 |
| 0,79551 | 10 | 25 | 0,79964 | 40 | 50 | 0,74378 | 25 | 100 |
| 0,79999 | 15 | 25 | 0,73716 | 0,18 | 75 | 0,74923 | 30 | 100 |
| 0,80424 | 20 | 25 | 0,74358 | 5 | 75 | 0,75437 | 35 | 100 |
| 0,80829 | 25 | 25 | 0,74976 | 10 | 75 | 0,75924 | 40 | 100 |
| 0,81215 | 30 | 25 | 0,75552 | 15 | 75 | 0,68087 | 0,76 | 125 |
| 0,81585 | 35 | 25 | 0,76091 | 20 | 75 | 0,68918 | 5 | 125 |
| 0,81940 | 40 | 25 | 0,76600 | 25 | 75 | 0,69799 | 10 | 125 |
| 0,76197 | 0,1 | 50 | 0,77081 | 30 | 75 | 0,70596 | 15 | 125 |
| 0,76760 | 5 | 50 | 0,77538 | 35 | 75 | 0,71325 | 20 | 125 |
| 0,77297 | 10 | 50 | 0,77974 | 40 | 75 | 0,71999 | 25 | 125 |
| 0,77802 | 15 | 50 | 0,71054 | 0,39 | 100 | 0,72626 | 30 | 125 |
| 0,78279 | 20 | 50 | 0,71784 | 5 | 100 | 0,73213 | 35 | 125 |
| 0,78731 | 25 | 50 | 0,72510 | 10 | 100 | 0,73765 | 40 | 125 |

Tablica 3. Podaci o ravnoteži para-kapljevina u sustavu *n*-pentan(1) – metanol(2) dobiveni simulacijom iz programskoga paketa ChemCAD 6.5.7. pri 101325 Pa.

| x_1 | y_1 | T / K | γ_1 | γ_2 | $g^{\text{ex}}/(RT)$ |
|---------|---------|----------------|------------|------------|----------------------|
| 0 | 0 | 337,632 | 15,276 | 1 | 1 |
| 0,05000 | 0,62387 | 315,591 | 10,030 | 1,012 | 1,4629 |
| 0,10000 | 0,72494 | 309,492 | 7,147 | 1,040 | 1,6507 |
| 0,15000 | 0,76106 | 306,970 | 5,458 | 1,081 | 1,73755 |
| 0,20000 | 0,77849 | 305,709 | 4,377 | 1,134 | 1,7826 |
| 0,25000 | 0,78833 | 305,005 | 3,635 | 1,196 | 1,80575 |
| 0,30000 | 0,79446 | 304,583 | 3,099 | 1,271 | 1,8194 |
| 0,35000 | 0,79855 | 304,318 | 2,695 | 1,360 | 1,82725 |
| 0,40000 | 0,80141 | 304,146 | 2,381 | 1,465 | 1,8314 |
| 0,45000 | 0,80351 | 304,031 | 2,131 | 1,590 | 1,83345 |
| 0,50000 | 0,80509 | 303,954 | 1,927 | 1,742 | 1,8345 |
| 0,55000 | 0,80632 | 303,902 | 1,758 | 1,928 | 1,8345 |
| 0,60000 | 0,80731 | 303,866 | 1,615 | 2,162 | 1,8338 |
| 0,65000 | 0,80815 | 303,842 | 1,494 | 2,463 | 1,83315 |
| 0,70000 | 0,80890 | 303,826 | 1,389 | 2,864 | 1,8315 |
| 0,75000 | 0,80963 | 303,816 | 1,298 | 3,426 | 1,83 |
| 0,80000 | 0,81046 | 303,811 | 1,219 | 4,265 | 1,8282 |
| 0,85000 | 0,81165 | 303,814 | 1,148 | 5,649 | 1,82315 |
| 0,90000 | 0,81406 | 303,842 | 1,087 | 8,354 | 1,8137 |
| 0,95000 | 0,82261 | 304,021 | 1,034 | 15,797 | 1,77215 |
| 1 | 1 | 309,079 | 1 | 77,773 | 1 |

Tablica 4. Eksperimentalni podatci očitani iz dijagrama vrenja prema Tennu i Missenu⁵ za sustav *n*-pentan(1) – metanol(2) pri 126656 Pa i odgovarajući koeficijenti aktivnosti komponenata.

| x_1 | y_1 | $t/^\circ\text{C}$ | γ_1 | γ_2 | $g^{\text{ex}}/(RT)$ |
|--------|--------|--------------------|------------|------------|----------------------|
| 0,000 | 0,000 | 64,1 | - | 1 | 0 |
| 0,003 | 0,049 | 62,2 | 7,05666 | 1,01917 | 1,03729 |
| 0,008 | 0,165 | 58,9 | 9,79567 | 1,02766 | 1,0978 |
| 0,013 | 0,250 | 56,1 | 9,91405 | 1,04129 | 1,15664 |
| 0,018 | 0,320 | 52,7 | 10,1463 | 1,09502 | 1,25795 |
| 0,023 | 0,402 | 49,1 | 11,1393 | 1,13055 | 1,36075 |
| 0,032 | 0,447 | 46,2 | 9,75033 | 1,19926 | 1,47289 |
| 0,036 | 0,473 | 44,6 | 9,65089 | 1,23295 | 1,536 |
| 0,043 | 0,504 | 42,1 | 9,33447 | 1,30967 | 1,65473 |
| 0,080 | 0,616 | 35,9 | 7,54273 | 1,41076 | 1,90132 |
| 0,140 | 0,698 | 32,1 | 5,57124 | 1,42783 | 2,00791 |
| 0,253 | 0,754 | 30,6 | 3,51159 | 1,44238 | 1,96589 |
| 0,799* | 0,799* | 30,1* | 1,19946 | 4,49067 | 1,861 |
| 0,974 | 0,842 | 30,7 | 1,01499 | 26,4841 | 1,67719 |
| 0,984 | 0,859 | 31,1 | 1,01052 | 37,6495 | 1,59675 |
| 0,987 | 0,895 | 32,2 | 1,00973 | 32,6793 | 1,42143 |
| 0,991 | 0,947 | 33,7 | 1,00977 | 22,138 | 1,19993 |
| 0,995 | 0,976 | 34,6 | 1,00472 | 17,2726 | 1,08606 |
| 1,000 | 1,000 | 35,7 | 1 | - | 0 |

*Azeotropna točka

Tablica 5. Podatci o ravnoteži para-kapljevina pri tlaku 141,3 kPa za sustav *n*-pentan(1) – metanol(2) prema A. M. Blanco.⁶

| T/K | x_2 | y_2 | γ_1 | γ_2 |
|--------------|-------|-------|------------|------------|
| 316,83 | 0,005 | 0,050 | 35,023 | 1,021 |
| 313,85 | 0,022 | 0,139 | 23,529 | 1,032 |
| 312,64 | 0,048 | 0,182 | 14,746 | 1,046 |
| 312,19 | 0,086 | 0,195 | 8,875 | 1,089 |
| 312,09 | 0,150 | 0,206 | 5,405 | 1,159 |
| 312,08 | 0,238 | 0,208 | 3,450 | 1,289 |
| 312,12 | 0,333 | 0,209 | 2,468 | 1,470 |
| 312,13 | 0,452 | 0,210 | 1,831 | 1,785 |
| 312,14 | 0,581 | 0,211 | 1,427 | 2,331 |
| 312,16 | 0,649 | 0,211 | 1,280 | 2,778 |
| 312,25 | 0,722 | 0,213 | 1,152 | 3,492 |
| 312,64 | 0,813 | 0,215 | 1,014 | 5,129 |
| 313,83 | 0,848 | 0,228 | 0,978 | 5,987 |
| 315,35 | 0,886 | 0,248 | 0,951 | 7,393 |
| 319,10 | 0,923 | 0,297 | 0,927 | 9,166 |
| 322,54 | 0,946 | 0,359 | 0,945 | 10,800 |
| 328,55 | 0,967 | 0,48 | 0,966 | 12,157 |
| 333,45 | 0,978 | 0,603 | 0,988 | 12,029 |
| 337,25 | 0,986 | 0,705 | 0,990 | 13,082 |
| 339,75 | 0,991 | 0,784 | 0,998 | 13,747 |
| 342,05 | 0,995 | 0,862 | 1,004 | 13,885 |
| 344,15 | 0,998 | 0,933 | 1,004 | 17,358 |

Tablica 6. Ovisnost ukupnog tlaka sustava o sastavu kapljevite faze za sustav *n*-pentan(1) – metanol(2) pri 303,15 K prema S. Thomas.⁷

| x_1 | p/kPa |
|--------|----------------|
| 0,0000 | 21,88 |
| 0,0257 | 52,38 |
| 0,0565 | 72,89 |
| 0,0960 | 86,19 |
| 0,1365 | 92,78 |
| 0,1769 | 96,02 |
| 0,2273 | 97,93 |
| 0,2779 | 98,77 |
| 0,2780 | 98,75 |
| 0,3374 | 99,17 |
| 0,3977 | 99,35 |
| 0,4572 | 99,42 |
| 0,5183 | 99,47 |
| 0,5778 | 99,50 |
| 0,6388 | 99,53 |
| 0,6999 | 99,58 |
| 0,7483 | 99,62 |
| 0,8018 | 99,63 |
| 0,8487 | 99,59 |
| 0,9022 | 99,31 |
| 0,9427 | 98,54 |
| 0,9694 | 97,10 |
| 0,9865 | 94,01 |
| 1,0000 | 82,01 |

Tablica 7. Podatci o ravnoteži para-kapljevina pri tri različite temperature za sustav *n*-pentan(1) – metanol(2) prema Wilsaku.⁸

| <i>T</i> = 372,7 K | | | | | |
|-----------------------|-----------------------|---------------|--------------------------|--------------------------|--|
| <i>x</i> ₁ | <i>y</i> ₁ | <i>p</i> /kPa | ln <i>y</i> ₁ | ln <i>y</i> ₂ | |
| 0,000 | 0,000 | 347,1 | - | - | |
| 0,012 | 0,224 | 450,9 | 2,749 | 0,003 | |
| 0,064 | 0,458 | 627,4 | 2,056 | 0,011 | |
| 0,164 | 0,585 | 777,0 | 1,521 | 0,065 | |
| 0,290 | 0,610 | 821,9 | 1,034 | 0,221 | |
| 0,523 | 0,635 | 842,5 | 0,500 | 0,579 | |
| 0,643 | 0,655 | 845,6 | 0,325 | 0,820 | |
| 0,776 | 0,669 | 840,8 | 0,152 | 1,243 | |
| 0,887 | 0,710 | 815,6 | 0,051 | 1,777 | |
| 0,956 | 0,795 | 745,0 | 0,012 | 2,309 | |
| 1,000 | 1,000 | 587,1 | - | - | |
| <i>T</i> = 397,7 K | | | | | |
| <i>x</i> ₁ | <i>y</i> ₁ | <i>p</i> /kPa | ln <i>y</i> ₁ | ln <i>y</i> ₂ | |
| 0,000 | 0,000 | 729,5 | - | - | |
| 0,045 | 0,298 | 1043,9 | 1,999 | 0,015 | |
| 0,140 | 0,482 | 1339,6 | 1,502 | 0,050 | |
| 0,218 | 0,528 | 1435,1 | 1,188 | 0,119 | |
| 0,335 | 0,549 | 1485,1 | 0,816 | 0,270 | |
| 0,497 | 0,587 | 1508,9 | 0,491 | 0,485 | |
| 0,670 | 0,606 | 1511,7 | 0,222 | 0,867 | |
| 0,809 | 0,646 | 1473,1 | 0,073 | 1,297 | |
| 0,932 | 0,767 | 1307,9 | 0,009 | 1,843 | |
| 0,975 | 0,888 | 1145,9 | 0,012 | 2,025 | |
| 1,000 | 1,000 | 993,2 | - | - | |
| <i>T</i> = 422,6 K | | | | | |
| <i>x</i> ₁ | <i>y</i> ₁ | <i>p</i> /kPa | ln <i>y</i> ₁ | ln <i>y</i> ₂ | |
| 0,000 | 0,000 | 1374,8 | - | - | |
| 0,033 | 0,187 | 1691,3 | 1,911 | 0,002 | |
| 0,095 | 0,329 | 2059,1 | 1,523 | 0,046 | |
| 0,258 | 0,467 | 2419,4 | 0,931 | 0,169 | |
| 0,385 | 0,494 | 2500,0 | 0,596 | 0,339 | |
| 0,525 | 0,539 | 2527,6 | 0,363 | 0,530 | |
| 0,637 | 0,577 | 2515,9 | 0,222 | 0,725 | |
| 0,784 | 0,642 | 2409,7 | 0,081 | 1,072 | |
| 0,885 | 0,716 | 2213,2 | 0,008 | 1,431 | |
| 0,940 | 0,819 | 1969,1 | 0,004 | 1,574 | |
| 1,000 | 1,000 | 1571,3 | - | - | |

U tablicama 8 i 9 dani su parametri Wagnerove jednadžbe ovisnosti ravnotežnoga tlaka čistih komponenata o temperaturi, odnosno parametri Peng-Robinsonove jednadžbe stanja prema Polingu i suradnicima (2000.). Wagnerova jednadžba glasi:⁹

$$\ln \left(\frac{p_i^*}{p_K} \right) = \left(\frac{T_K}{T} \right) [a\tau + b\tau^{1.5} + c\tau^3 + d\tau^6], \quad (36)$$

$$\tau = 1 - \frac{T}{T_K}. \quad (37)$$

Tablica 8. Parametri Wagnerove jednadžbe koja daje ovisnost ravnotežnog tlaka čistih komponenata o temperaturi.⁹

| | <i>n</i> -pentan | metanol |
|-------------|------------------|----------|
| p_K / bar | 33,75 | 80,92 |
| T_K / K | 469,8 | 512,64 |
| a | -7,30698 | -8,63571 |
| b | 1,75845 | 1,17982 |
| c | -2,1629 | -2,4790 |
| d | -2,9130 | -1,0240 |

Tablica 9. Parametri Peng-Robinsonove jednadžbe stanja.⁹

| | <i>n</i> -pentan | metanol |
|-------------|------------------|---------|
| p_K / bar | 33,7 | 80,97 |
| T_K / K | 469,7 | 512,64 |
| ω | 0,252 | 0,565 |

4. REZULTATI I RASPRAVA

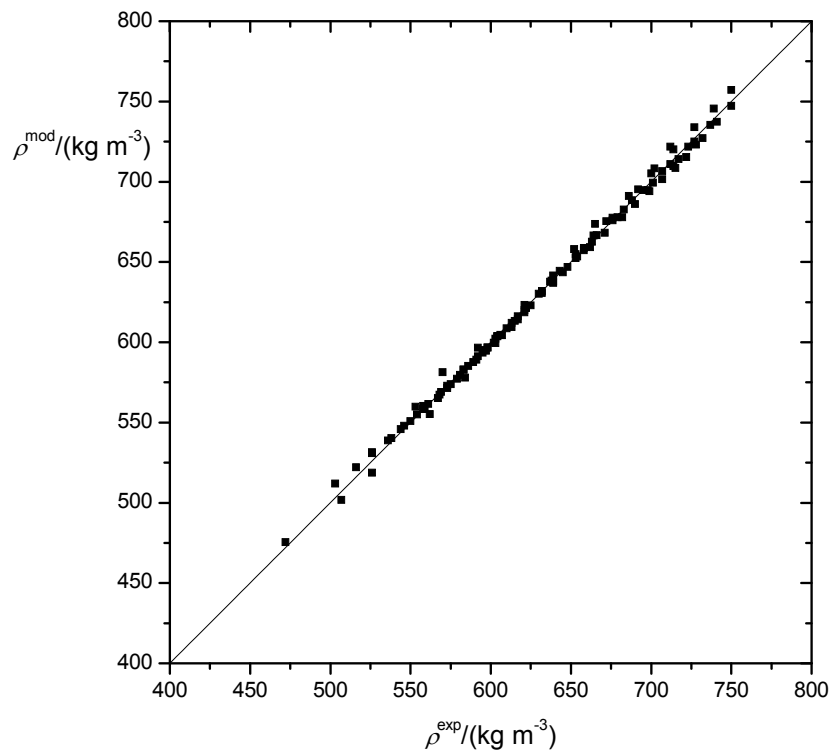
4.1 Određivanje parametara Taitove jednadžbe

Parametri Taitove jednadžbe određeni su nelinearnom regresijom literaturnih podataka. Taitova jednadžba je primijenjena jer molarni volumeni komponenata, a time i parametri Wilsonova modela, ovise o temperaturi tako da je potrebno poznavati ovisnost molarnog volumena odnosno gustoće komponenata o temperaturi. Literaturni podatci koji su pritom korišteni navedeni su u tablici 1 i tablici 2. Kao funkcija cilja (*OF*) odabran je zbroj kvadrata odstupanja eksperimentalne, ρ_i^{exp} , i gustoće prema Taitovu modelu, ρ_i^{mod} za sve eksperimentalne točke, jednadžba (37). Cilj je pronaći minimum funkcije cilja, odnosno traže se takve vrijednosti parametara da model što točnije opisuje eksperimentalne podatke. Minimum funkcije cilja pronađen je ugrađenom funkcijom *FindMinimum* u programskom sustavu Mathematica u kojem je proveden cijeli proračun. U primjenjenoj varijanti dana je po jedna početna pretpostavka po parametru, što znači da funkcija primjenjuje gradijentnu metodu traženja minimuma funkcije (npr. Levenberg-Marquardtovu metodu). Optimalni parametri prikazani su u tablici 10. Slaganje eksperimentalnih i modelnih gustoća prikazano je na slikama 5 i 6, a ovisnost gustoće *n*-pentana i metanola o tlaku i temperaturi na slikama 7, odnosno 8.

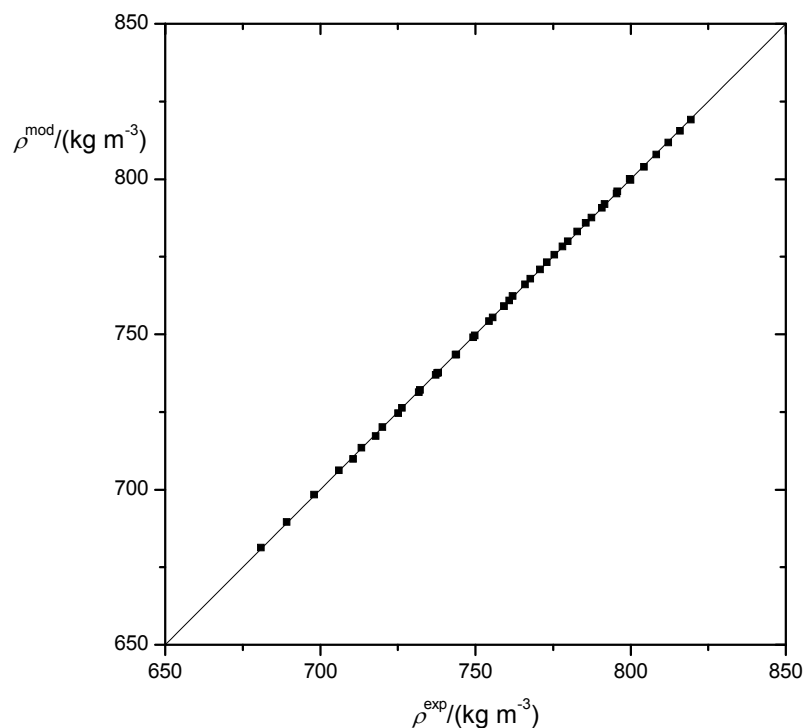
$$OF = \sum_{i=1}^n (\rho_i^{\text{exp}} - \rho_i^{\text{mod}})^2. \quad (38)$$

Tablica 10. Optimalni parametri Taitova modela i minimum funkcije cilja za obje komponente

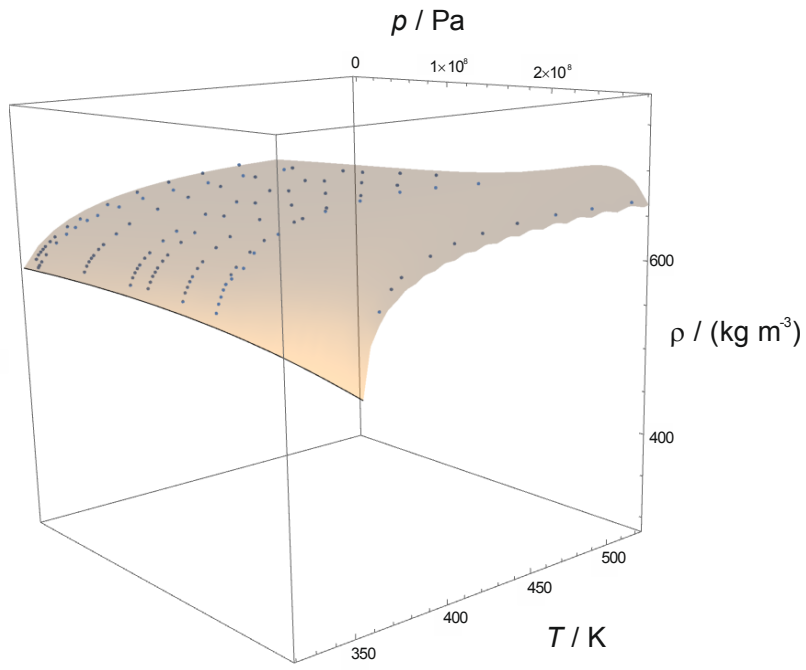
| | <i>n</i> -pentan | metanol |
|-----------|-------------------|-------------------|
| <i>OF</i> | 1514,98 | 4,20155 |
| a_0 | 692,047 | 918,402 |
| a_1 | 0,287 | 0,016572 |
| a_2 | -0,00184 | -0,00155 |
| b_0 | $2,06 \cdot 10^8$ | $3,27 \cdot 10^8$ |
| b_1 | -778880 | -1170820 |
| b_2 | 741,832 | 1069,34 |
| <i>C</i> | 0,221521 | 0,213525 |



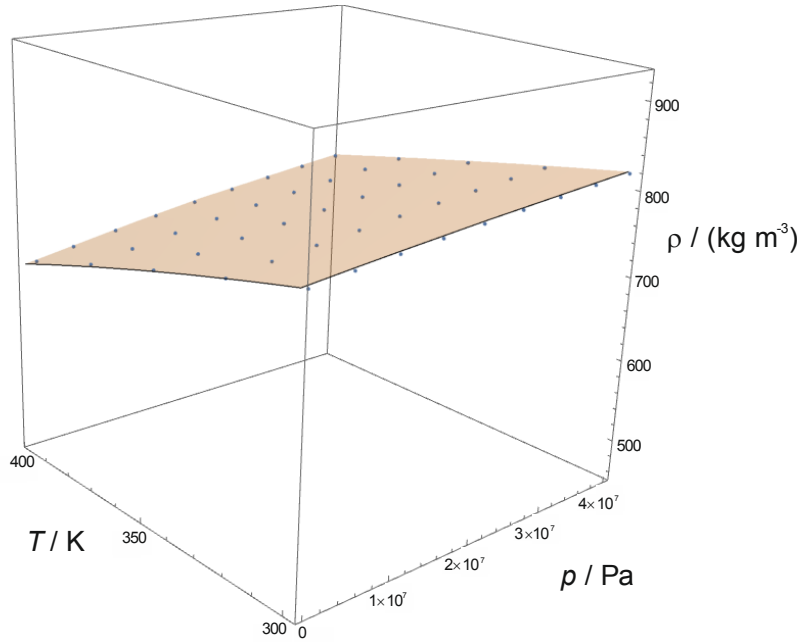
Slika 5. Grafički prikaz odstupanja eksperimentalnih i modelnih gustoća za *n-pentan* u svim eksperimentalnim točkama. Dijagonala (pravac $y = x$) pokazuje rasipanje točaka, tj. odstupanje modela.



Slika 6. Grafički prikaz odstupanja eksperimentalnih i modelnih gustoća za *metanol* u svim eksperimentalnim točkama. Dijagonala (pravac $y = x$) pokazuje rasipanje točaka, tj. odstupanje modela.



Slika 7. Ovisnost gustoće kapljevitog *n*-pentana o tlaku i temperaturi



Slika 8. Ovisnost gustoće kapljevitog metanola o tlaku i temperaturi

Rezultati pokazuju da Taitova jednadžba bolje opisuje metanol(2) nego *n*-pentan(1) što je vidljivo iz minimuma funkcije cilja koji je puno manji za metanol. Usporedbom slike 5 i slike 6 vidljivo je manje rasipanje točaka oko dijagonale u slučaju metanola iz čega se ponovno dolazi do istoga zaključka. Slika 7 pokazuje neprikladnost Taitove jednadžbe za *n*-pentan što je vidljivo iz nepravilnog oblika funkcije. Iz grafa se zaključuje da će, pri uvjetima visokog tlaka i niske temperature, Taitova jednadžba dati premale vrijednosti gustoće, odnosno u tom području vidljivo je najveće odstupanje.

Slika 8 pokazuje zadovoljavajuće slaganje Taitove jednadžbe s eksperimentalnim podatcima za metanol, iako treba imati na umu da je područje temperature manje i da su tlakovi pri kojima je provedeno mjerjenje manji u odnosu na *n*-pentan što smanjuje mjernu pogrešku.

4.2 Određivanje Stryjek-Verina parametra

Stryjek-Verin parametar κ_1 određuje se nelinearnom regresijom eksperimentalnih podataka na krivulji isparavanja. Funkcija cilja definirana je sljedećom jednadžbom¹ :

$$OF = \sum_{i=1}^{nd} (\ln\varphi_i^V - \ln\varphi_i^L)^2. \quad (39)$$

Odabir funkcije cilja je razumljiv. U stanju ravnoteže para-kapljevina jednokomponentnog sustava mora biti ispunjena jednakost koeficijenata fugacitivnosti komponente u kapljevitoj, φ^L , i parnoj fazi, φ^V . Minimum funkcije cilja određen je pomoću ugrađene funkcije FindMinimum. Koeficijenti fugacitivnosti i kompresibilnosti računati su iz PRSV-jednadžbe stanja uz zadanu početnu pretpostavku vrijednosti parametra κ_1 ¹:

$$\ln\varphi = \ln\frac{v}{v-b} - \frac{a\alpha}{bRT2\sqrt{2}} \ln\frac{v+b(1+\sqrt{2})}{v+b(1-\sqrt{2})} + z - 1 - \ln(z). \quad (40)$$

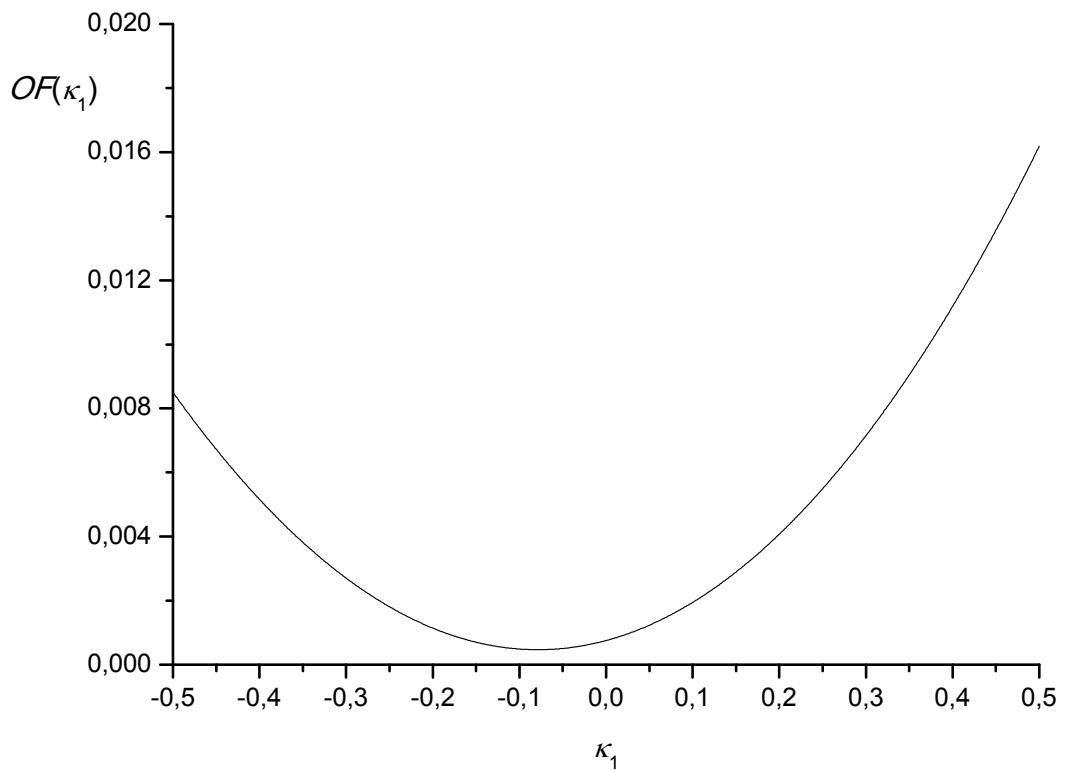
$$v = \frac{zRT}{p}. \quad (41)$$

Iterativnim proračunom nalazi se optimalna vrijednost parametra.

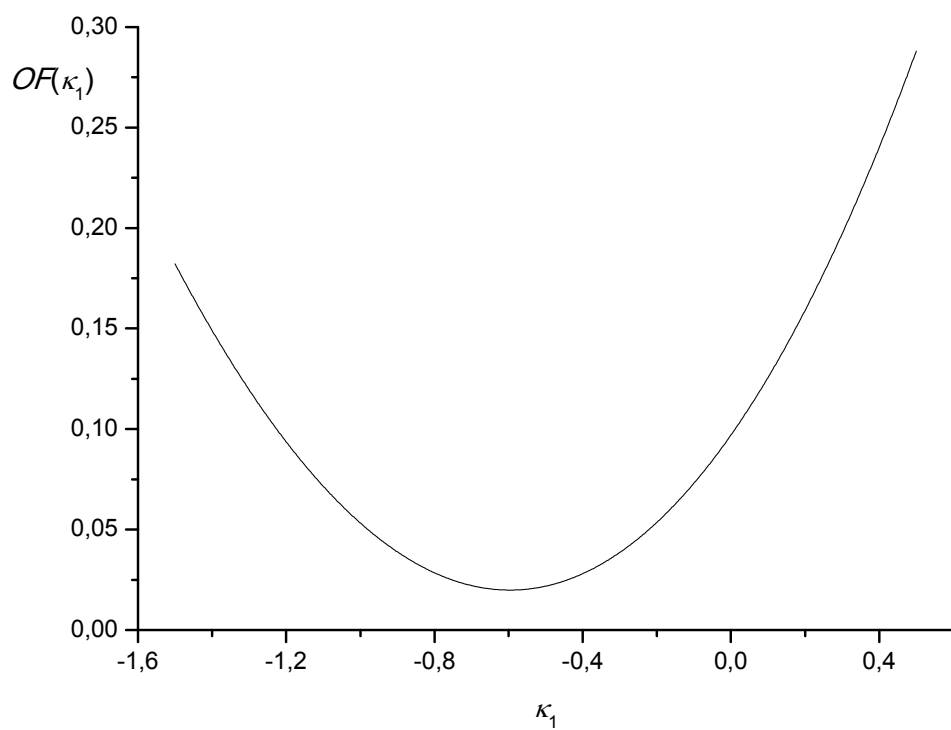
Optimalni parametri prikazani su u Tablici 11, a na slikama 9 i 10 prikazana je ovisnost funkcije cilja o vrijednosti parametra κ_1 . Iz vrijednosti minimuma funkcije cilja vidi se da je taj minimum veći za metanol iz čega se zaključuje da PRSV-jednadžba lošije opisuje metanol nego *n*-pentan što je i očekivano s obzirom na znatno veću polarnost metanola.

Tablica 11. Optimalni Stryjek-Verini parametri za obje komponente

| | <i>n</i> -pentan | metanol |
|------------|--------------------------|--------------------------|
| κ_1 | -0,079 | -0,596 |
| OF | $4,68439 \times 10^{-4}$ | $1,98994 \times 10^{-2}$ |



Slika 9. Ovisnost funkcije cilja o Stryjek-Verinu parametru κ_1 za *n*-pentan



Slika 10. Ovisnost funkcije cilja o parametru κ_1 za *metanol*

4.3 Određivanje parametara Wilsonova modela

Parametri Wilsonova modela λ_{12} i λ_{21} određeni su nelinearnom regresijom literturnih podataka. Parametri su važni za određivanje Wong-Sandlerova parametra sustava. Literurni podatci korišteni pri ovom proračunu navedeni su u tablici 3. Funkcija cilja definirana je kao¹ :

$$OF = \frac{1}{nd} \sum_{i=1}^{nd} \left[\left(\frac{g^{\text{ex}}}{RT} \right)_i^{\text{exp}} - \left(\frac{g^{\text{ex}}}{RT} \right)_i^{\text{mod}} \right]^2, \quad (42)$$

gdje je:

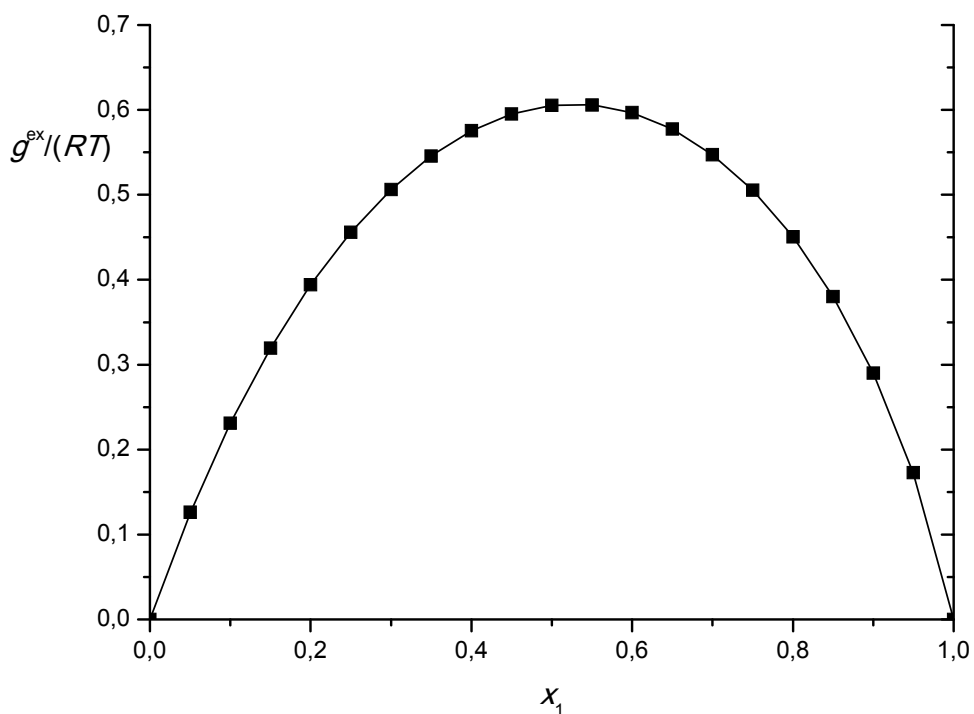
$$\frac{g^{\text{ex}}}{RT} = x_1 \ln \gamma_1 + x_2 \ln \gamma_2. \quad (43)$$

g^{ex} je ekscesna Gibbsova energija sustava, a γ_i je koeficijent aktivnosti komponente. exp i mod označavaju vrijednosti određene eksperimentom, odnosno izračunate modelom.

Optimalni parametri prikazani su u Tablici 12, a na slici 11 prikazana je ekscesna Gibbsova energija sustava kao funkcija sastava.

Tablica 12. Optimalni parametri Wilsonova modela i odgovarajući minimum funkcije cilja

| | |
|----------------|-----------------------------|
| λ_{12} | 1877,23 J mol ⁻¹ |
| λ_{21} | 12208,7 J mol ⁻¹ |
| OF | $9,36527 \times 10^{-8}$ |



Slika 11. Ovisnost reducirane ekscesne Gibbsove energije o sastavu. Wilsonov model prikazan je krivuljom, a točke predstavljaju eksperimentalne podatke.

4.4 Određivanje Wong-Sandlerova parametra

Wong-Sandlerov parametar sustava k_{12} određuje se, kao i svi prijašnji parametri, nelinearnom regresijom literaturnih podataka. Literaturni podatci navedeni su u tablici 3. Funkcija cilja definirana je kao¹ :

$$OF = \frac{1}{nd} \sum_{i=1}^{nd} \left[\left(\frac{a^{\text{ex}}}{RT} \right)_i^{\text{PRSV}} - \left(\frac{g^{\text{ex}}}{RT} \right)_i^{\text{Wilson}} \right]^2. \quad (44)$$

Odabir funkcije cilja temelji se na činjenici da je pri niskim tlakovima ekscesna Helmholtzova energija, a^{ex} , izračunata jednadžbom stanja (PRSV) približno jednaka ekscesnoj Gibbsovoj energiji, g^{ex} , izračunatoj modelom koeficijenta aktivnosti (Wilson), što je vidljivo iz jednadžbe (45)¹ :

$$g^{\text{ex}} = a^{\text{ex}} + p\nu^{\text{ex}}. \quad (45)$$

Pritom se želi naći optimalna vrijednost Wong-Sandlerova parametra koja će dati minimalno odstupanje dvaju načina opisivanja neidealnosti kapljevite faze, PRSV-jednadžbe i Wilsonova modela¹.

Ekscesna Helmholtzova energija računa se iz sljedećeg izraza, gdje oznaka EOS označava da se računa iz jednadžbe stanja (engl. *equation of state*)¹:

$$\left(\frac{a^{\text{ex}}}{RT} \right)^{\text{EOS}} = x_1 \ln \left(\frac{\varphi_1}{\varphi_1^*} \right) + x_2 \ln \left(\frac{\varphi_2}{\varphi_2^*} \right). \quad (46)$$

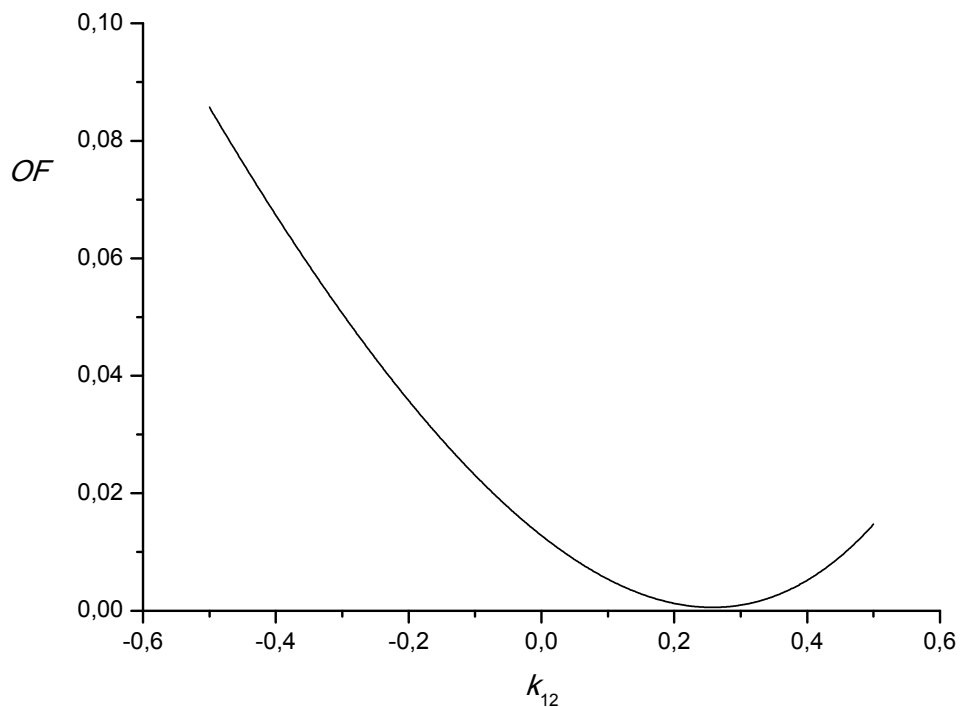
φ je parcijalni koeficijent fugacitivnosti komponente u kapljevini, a φ^* je standardni koeficijent fugacitivnosti komponente. Standardno stanje definirano je kao stanje čiste kapljevite komponente pri temperaturi i tlaku sustava. Koeficijenti fugacitivnosti računaju se iz PRSV-jednadžbe, a ovdje je zbog jednostavnosti dan samo izraz za standardni koeficijent fugacitivnosti¹ .

$$\ln \varphi^* = z^L - 1 - \ln(z^L - B) - \frac{A}{B2\sqrt{2}} \ln \left[\frac{z^L + B(1 + \sqrt{2})}{z^L + B(1 - \sqrt{2})} \right]. \quad (47)$$

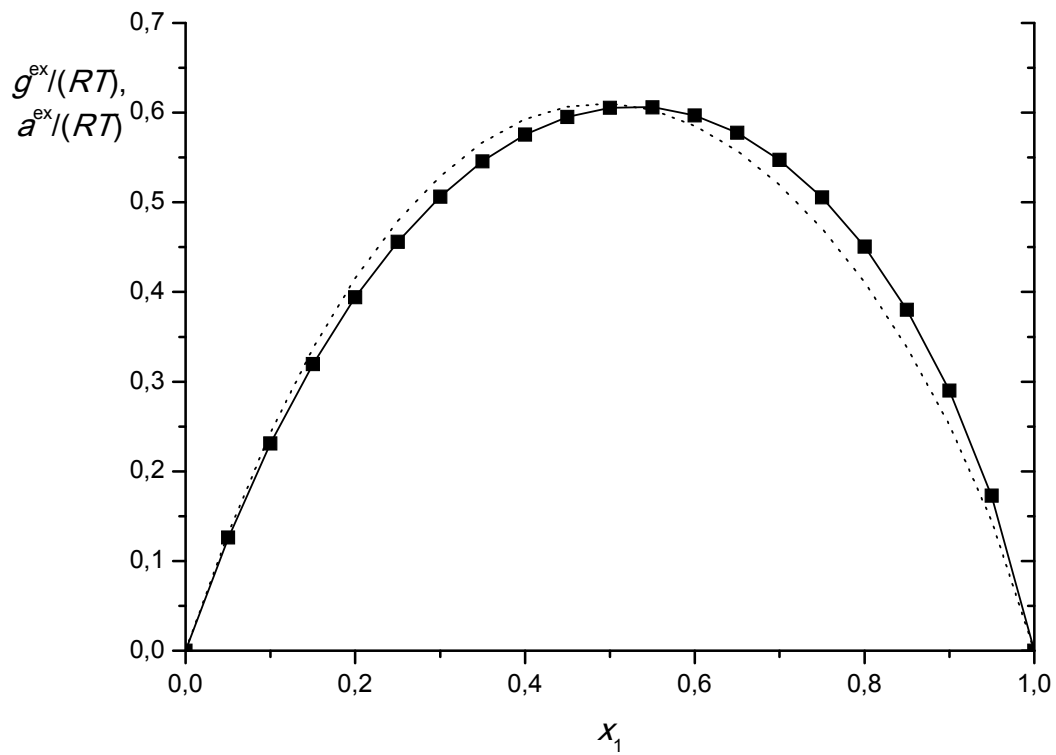
Optimalni parametar prikazan je u Tablici 13, a na slici 12 prikazana je ovisnost iznosa funkcije cilja o vrijednosti parametra k_{12} . Na slici 13 uspoređene su ekscesna Gibbsova i Helmholtzova energija.

Tablica 13. Optimalna vrijednost Wong-Sandlerova parametra i minimum funkcije cilja

| | |
|----------|--------------------------|
| k_{ij} | 0,258 |
| OF | $5,80757 \times 10^{-4}$ |



Slika 12. Ovisnost funkcije cilja o Wong-Sandlerovu parametru k_{ij}

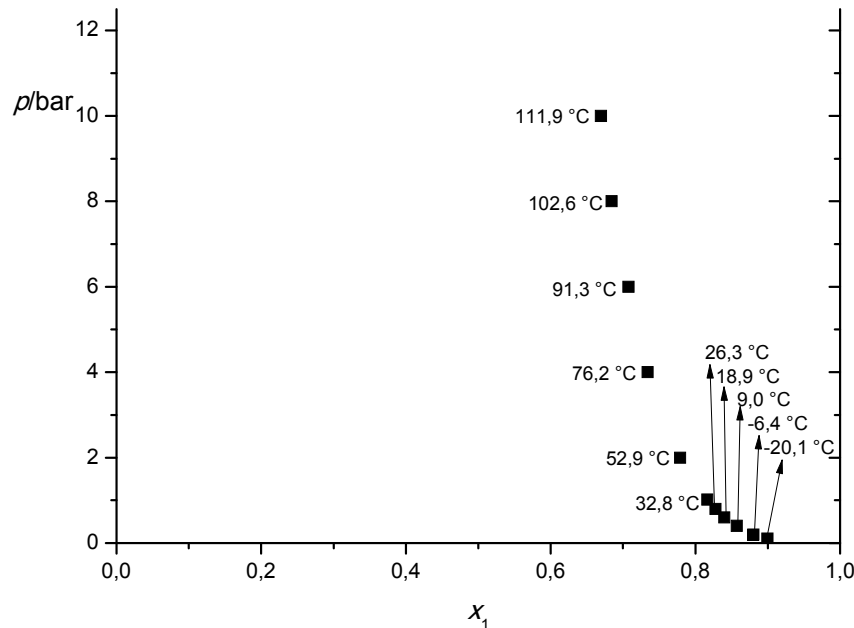


Slika 13. Ovisnost modelne i eksperimentalne reducirane ekscesne Gibbsove energije te reducirane ekscesne Helmholtzove energije o sastavu kapljive faze. Točke predstavljaju eksperimentalne podatke, puna linija Wilsonov model, a iscrtkana linija ekscesnu Helmholtzovu energiju računatu PRSV-jednadžbom stanja.

4.5 Pomicanje azeotropne točke s promjenom tlaka i temperature

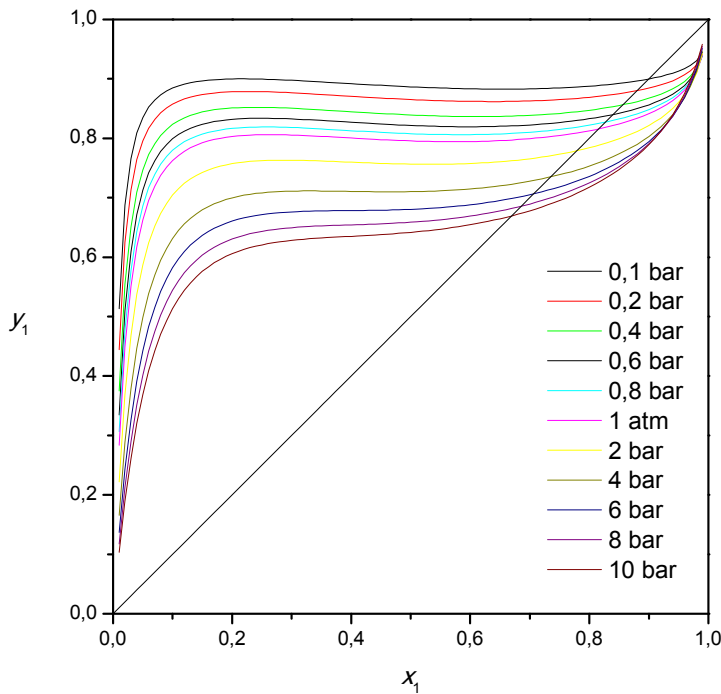
Nakon određivanja parametara κ_1 i k_{12} te parametara Wilsonova modela može se primijeniti PRSV-jednadžba stanja uz Wong-Sandlerova pravila miješanja za izračunavanje izobarnih i izotermnih faznih dijagrama preko proračuna vrelista za zadani sastav kapljevine, odnosno tlak i temperaturu. Time se može i vidjeti kako se pomicaju azeotropna točka s promjenom tlaka odnosno temperature.

Pomak azeotropa prikazan je na slici 14.

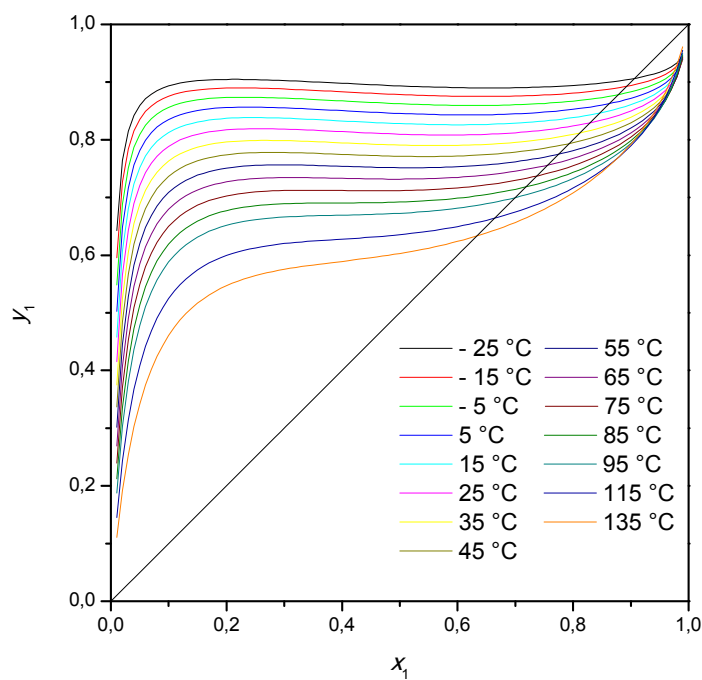


Slika 14. Ovisnost azeotropnog sastava i temperature o tlaku

Na slikama 15 i 16 prikazani su ravnotežni dijagrami pri stalnom tlaku, odnosno stalnoj temperaturi.



Slika 15. Ravnotežni dijagrami pri stalnom tlaku.



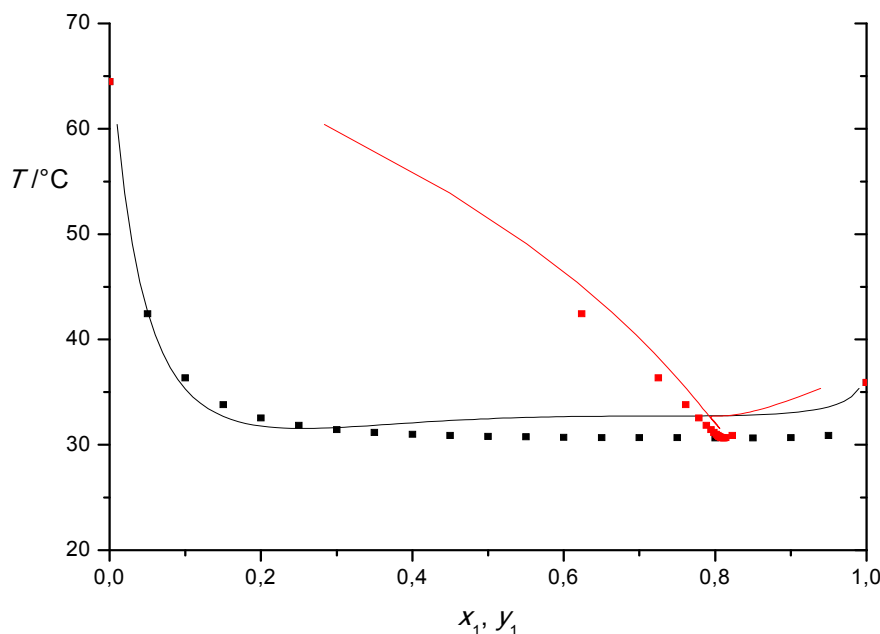
Slika 16. Ravnotežni dijagrami pri stalnoj temperaturi.

Rezultati pokazuju da se azeotropna točka sniženjem tlaka, pa tako i temperature, pomiče udesno, prema bližem rubu tj. prema čistom *n*-pentanu(1), u odnosu na azeotropni sastav pri atmosferskom tlaku. Ta činjenica upućuje na to da će pri dovoljno niskom tlaku biti moguće potpuno ukloniti azeotropnu točku i komponente razdvojiti jednostavnom destilacijom. Problem takvog pristupa jest u

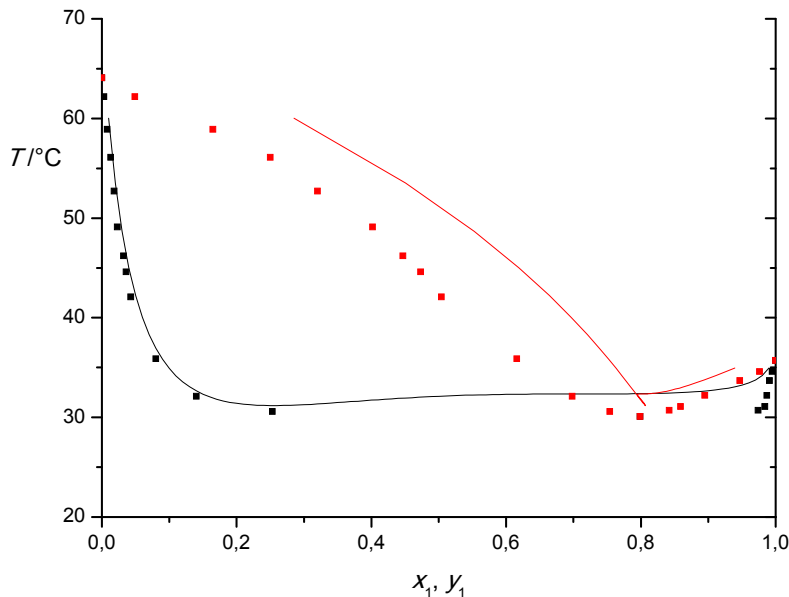
tome da se sniženjem tlaka smanjuje mješljivost komponenata u kapljevini. Sustav *n*-pentan(1) – metanol(2) je pri atmosferskom tlaku u potpunosti mješljiv. Međutim, iz „platoa“ u ravnotežnom dijagramu vidljivo je da je sustav vrlo blizu djelomične mješljivosti te da bi zbog toga dalnjim sniženjem tlaka moglo doći do djelomične mješljivosti komponenata što bi dovelo do stvaranja heterogenog azeotropa i zbog toga bi jednostavna destilacija bila onemogućena. Slike 15 i 16 pokazuju da pri niskim tlakovima i temperaturama postoji područje u kojem s porastom udjela lakše hlapive komponente u kapljevitoj fazi dolazi do blagog pada njenog udjela u parnoj fazi, što je fizički nemoguće. To znači da je sustav došao u područje djelomične mješljivosti čime je proračunom potvrđeno da metoda razdvajanja azeotropa promjenom tlaka nije prikladna za separaciju ovog sustava. Takvo ponašanje sustava očekivano je, s obzirom na različitu kemijsku prirodu i polarnost komponenata.

4.6 Usporedba eksperimentalnih i računskih faznih dijagrama

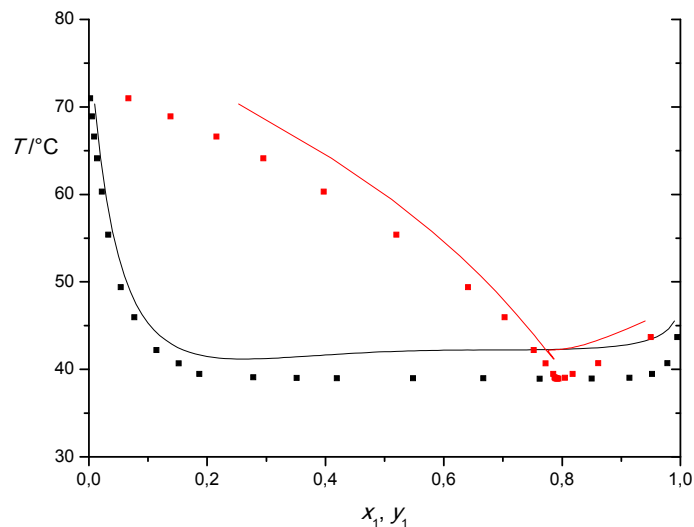
Kako je već rečeno, primjenom PRSV-jednadžbe stanja uz Wong-Sandlerova pravila miješanja mogu se izračunati izobarni i izotermni fazni dijagrami preko proračuna vrelišta za zadani sastav kapljevine, odnosno tlak i temperaturu. Proračun je napravljen je u programskom sustavu Mathematica, a odgovarajući kod nalazi se u prilozima. Na slikama 17 – 19 izračunati izobarni fazni dijagrami uspoređeni su s literaturnim eksperimentalnim (ili simuliranim) podacima.



Slika 17. Usporedba faznog dijagrama dobivenog simulacijom iz programskog paketa ChemCAD 6.5.7. i računskog dijagrama pri tlaku 101325 Pa. Točke predstavljaju simulirane podatke, a linijama je predstavljen računski fazni dijagram.



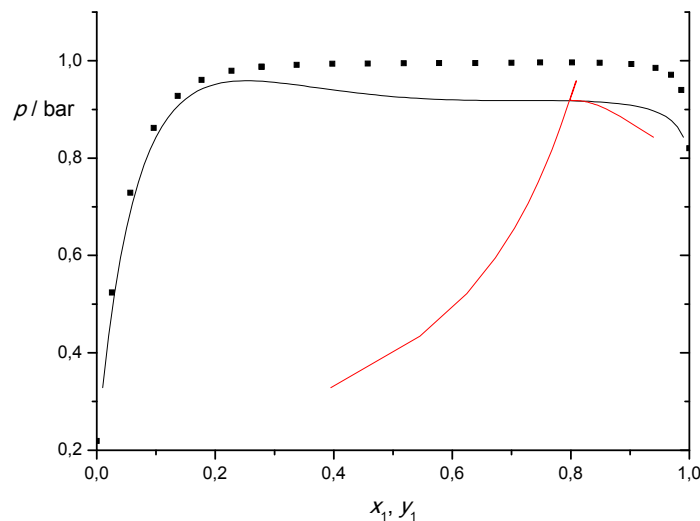
Slika 18. Usporedba eksperimentalnog faznog dijagrama prema Tenu i Missenu pri 750 mmHg te računskog faznog dijagrama. Točke predstavljaju eksperiment, a linije proračun.



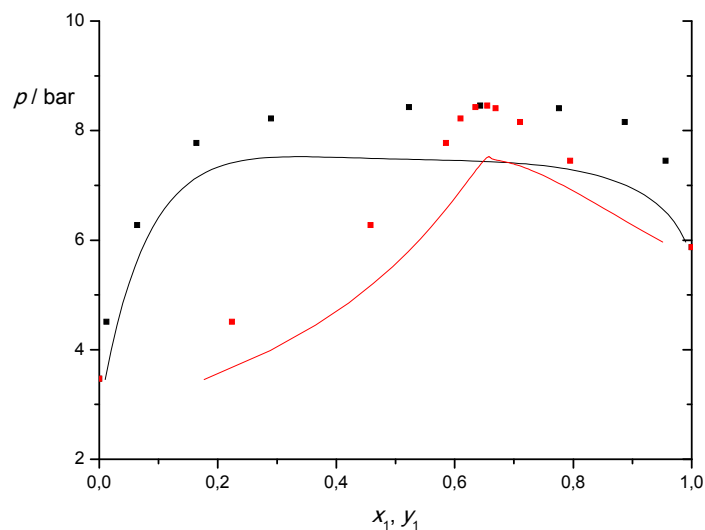
Slika 19. Usporedba eksperimentalnog faznog dijagrama prema Blancu i suradnicima pri tlaku 141,3 kPa. Točke predstavljaju eksperiment, a linije proračun.

Najbolje slaganje eksperimenta i proračuna glede temperature azeotropne točke pokazuje fazni dijagram pri 750 mmHg što je i najniži tlak pri kojem su računati fazni dijagrami, pa je najbolje slaganje i očekivano s obzirom na to da se para vlada idealnije pri nižim tlakovima. Međutim taj dijagram pokazuje veće odstupanje krivulje rosišta u usporedbi sa dijagramom pri 101325 Pa. Najveća su odstupanja dobivena pri najvišem tlaku od 141,3 kPa.

Na slikama 20 i 21 izračunati izotermni fazni dijagrami uspoređeni su s literaturnim eksperimentalnim podacima.



Slika 20. Usporedba eksperimentalnog faznog dijagrama prema Thomasu i suradnicima pri temperaturi 303,15 K i računskog dijagrama.



Slika 21. Usporedba eksperimentalnog faznog dijagrama prema Wilsaku i računskog dijagrama pri temperaturi 372,7 K.

Iz usporedbe faznih dijagrama vidi se da je veće odstupanje dobiveno pri višoj temperaturi što ne iznenađuje s obzirom na to da su pri višim temperaturama viši i tlakovi pri kojima se promatra ravnoteža para-kapljevina, pa će u skladu s time odstupanje pare od idealnog plina biti veće.

5. ZAKLJUČAK

Ovaj rad bavi se separacijom azeotropne smjese *n*-pentan(1) – metanol(2) metodom promjene tlaka. Iz eksperimentalnih podataka pronađenih u literaturi omogućen je proračun Stryek-Verinih parametara komponenata i Wong-Sandlerova parametra sustava. Ponašanje sustava pri različitim tlakovima predviđeno je korištenjem PRSV-jednadžbe uz Wong-Sandlerova pravila miješanja. Proračuni pokazuju da pri sniženim tlakovima sustav nije moguće razdvojiti jednostavnom zeotropnom destilacijom jer će u kapljevitoj fazi doći do djelomične mješljivosti čemu je razlog različita kemijska priroda i polarnost komponenata.

6. POPIS SIMBOLA

| | |
|------------------------------|--|
| a | interakcijski parametar PR-jednadžbe stanja, Pa $\text{m}^6\text{mol}^{-2}$ |
| a | parametar Wagnerove jednadžbe |
| a_0, a_1, a_2 | parametri Taitove jednadžbe |
| a_{11}, a_{12}, a_{22} | potencijalne energije međudjelovanja Wilsonova modela, J mol^{-1} |
| a^{ex} | eksces Helmholtzova energija, J mol^{-1} |
| $a_{\text{EOS}}^{\text{ex}}$ | ekscesna Helmholtzova energija izračunata jednadžbom stanja, J mol^{-1} |
| $(aa)_{ii}, (aa)_{jj}$ | parametri Peng-Robinsonove jednadžbe za čiste komponente, Pa $\text{m}^6\text{mol}^{-2}$ |
| $(aa)_{ij}$ | ukršteni parametar smjese Peng-Robinsonove jednadžbe, Pa $\text{m}^6\text{mol}^{-2}$ |
| $(aa)_M$ | parametar Peng-Robinsonove jednadžbe za smjesu, Pa $\text{m}^6\text{mol}^{-2}$ |
| A | pomoćna varijabla Peng-Robinsonove jednadžbe stanja |
| b | parametar veličine čestica Peng-Robinsonove jednadžbe stanja, $\text{m}^3\text{mol}^{-1}$ |
| b | parametar Wagnerove jednadžbe |
| b_0, b_1, b_2 | parametri Taitove jednadžbe |
| b_{ii}, b_{jj} | parametri Peng-Robinsonove jednadžbe stanja za čiste komponente, $\text{m}^3\text{mol}^{-1}$ |
| b_{ij} | ukršteni parametar Peng-Robinsonove jednadžbe stanja, $\text{m}^3\text{mol}^{-1}$ |
| b_M | parametar Peng-Robinsonove jednadžbe stanja za smjesu, $\text{m}^3\text{mol}^{-1}$ |
| B | pomoćna varijabla Peng-Robinsonove jednadžbe stanja |
| B | parametar Taitove jednadžbe, bar |
| c | parametar Wagnerove jednadžbe |
| C | parametar Wong-Sandlerovih pravila miješanja ovisan o jednadžbi stanja |
| C | parametar Taitove jednadžbe |
| d | parametar Wagnerove jednadžbe |
| D | pomoćna varijabla Wong-Sandlerovih pravila miješanja |
| f_i | fugacitivnost komponente i , bar |
| f_i^L | fugacitivnost komponente i u kapljevitoj fazi, bar |

| | |
|------------------------------|--|
| f_i^{Lo} | standardna fugacitivnost kapljevite komponente i , bar |
| f_i^{V} | fugacitivnost komponente i u parnoj fazi, bar |
| g^{ex} | ekscesna Gibbsova energija, J mol^{-1} |
| $g_{\text{exp}}^{\text{ex}}$ | ekscesna Gibbsova energija računata iz eksperimenta, J mol^{-1} |
| g_{γ}^{ex} | ekscesna Gibbsova energija računata modelom, J mol^{-1} |
| G | Gibbsova energija sustava, J |
| k_{ij} | Wong-Sandlerov parametar sustava |
| OF | funkcija cilja |
| p | ukupni tlak sustava, bar |
| p_i | parcijalni tlak komponente i u smjesi, bar |
| p_i^* | ravnotežni tlak čiste komponente i , bar |
| p_k | kritični tlak, bar |
| PF | Poyntingov faktor |
| Q | pomoćna varijabla Wong-Sandlerovih pravila miješanja |
| R | opća plinska konstanta, $\text{J K}^{-1}\text{mol}^{-1}$ |
| T | apsolutna temperatura, K |
| T_k | kritična temperatura, K |
| T_r | reducirana temperatura |
| v | molarni volumen, $\text{m}^3\text{mol}^{-1}$ |
| v^{ex} | ekscesni volumen, $\text{m}^3\text{mol}^{-1}$ |
| v_i | molarni volumen čiste komponente i |
| x_i | molarni udio komponente i u kapljevitoj fazi |
| y_i | molarni udio komponente i u parnoj fazi |
| z | koeficijent kompresibilnosti |
| z^L | koeficijent kompresibilnosti čiste komponente u kapljevini |
| α | varijabla Peng-Robinsonove jednadžbe stanja |
| γ_i | koeficijent aktivnosti komponente i |

| | |
|------------------------------|--|
| κ | parametar Peng-Robinsonove jednadžbe stanja |
| κ_1 | dodatni parametar Peng-Robinson-Stryjek-Verine jednadžbe stanja |
| $\lambda_{12}, \lambda_{21}$ | parametri Wilsonova modela, J mol^{-1} |
| $\Lambda_{12}, \Lambda_{21}$ | temperaturno ovisni parametri Wilsonova modela |
| μ_i | kemijski potencijal komponente i , J mol^{-1} |
| μ_i^L | kemijski potencijal komponente i u kapljivoj fazi, J mol^{-1} |
| μ_i^V | kemijski potencijal komponente i u parnoj fazi, J mol^{-1} |
| ρ | gustoća kapljevine, kg m^{-3} |
| ρ_0 | referentna gustoća kapljevine, kg m^{-3} |
| τ | pomoćna varijabla Wagnerove jednadžbe |
| φ_i^* | standardni koeficijent fugacitivnosti komponente i |
| φ_i^* | ravnotežni koeficijent fugacitivnosti čiste komponente i |
| φ_i^L | koeficijent fugacitivnosti komponente i u kapljivoj fazi |
| φ_i^V | koeficijent fugacitivnosti komponente i u parnoj fazi |
| ω | Pitzerov koeficijent acentričnosti |

7. POPIS LITERATURE

- [1] M. Rogošić, Kemijsko-Inženjerska termodinamika, Nastavni tekstovi, Sveučilište u Zagrebu, Fakultet kemijskog inženjerstva i tehnologije, Zagreb, 2013.
- [2] H. S. Byun, T. P. DiNoia, M. A. McHugh, High-pressure densities of ethane, pentane, pentane-d₁₂, 25.5 wt % ethane in pentane-d₁₂, 2.4 wt % deuterated poly(ethylene-co-butene) (PEB) in ethane, 5.3 wt % hydrogenated PEB in pentane, 5.1 wt % hydrogenated PEB in pentane-d₁₂, and 4.9 wt % hydrogenated PEB in pentane-d12 + 23.1 wt % ethane, J. Chem. Eng. Data 45 (2000) 810-814.
- [3] Y. Wu, High-Pressure and High-Temperature Density Measurements of *n*-Pentane, *n*-Octane, 2,2,4-Trimethylpentane, Cylooctane, *n*-Decane and Toluene, magistarski (diplomski) rad, Virginia Commonwealth University, Richmond, Virgina, SAD, 2010.
- [4] I. M. Abdulgatov, A. Tekin, J. Safarov, A. Shahverdiyev, E. Hassel, High-pressure densities and derived volumetric properties (excess, apparent and partial molar volumes) of binary mixtures of methanol + [BMIM][PF₆], J. Solution Chem. 37 (2008) 801-833.
- [5] F. G. Tenn, R. W. Missen, A study of the condensation of binary vapors of miscible liquids, Part 1: The equilibrium relations, Can. J. Chem. Eng. 41 (1963) 12-14.
- [6] A. M. Blanco, J. Ortega, Experimental study of miscibility, density and iso baric vapor-liquid equilibrium for mixtures of methanol in hydrocarbons (C5, C6), Fluid Phase Equilibr. 122 (1996) 207-222.
- [7] S. Thomas, V.R. Bhethanabotia, Scott W. Campbell, Total pressure measurements for *n*-pentane – methanol – 2-butanol at 303.15 K, J. Chem. Eng. Data 36 (1991) 374-378.
- [8] R. A. Wilsak, S. W. Campbell, G. Thodos, Vapor-liquid equilibrium measurements for the *n*-pentane – methanol system at 372.7, 397.7 and 422.6 K, Fluid Phase Equilibr. 33 (1987) 157-171.
- [9] B. E. Poling, J. M. Prausnitz, J. P. O'Connell, The Properties of Gases and Liquids, 5th ed., McGraw-Hill, Washington DC, SAD, 2001.

8. PRILOZI

8.1 Proračun parametara Taitove jednadžbe

```
(*Taitova jednadžba*)

ClearAll["Global`*"];

podaci = {{785.55/1000, 0.1, 25}, {790.77/1000, 5, 25}, {795.51/1000, 10, 25}, {799.99/1000, 15, 25}, {804.24/1000, 20, 25}, {808.29/1000, 25, 25},
{812.15/1000, 30, 25}, {815.85/1000, 35, 25}, {819.40/1000, 40, 25}, {761.97/1000, 0.1, 50}, {767.60/1000, 5, 50}, {772.97/1000, 10, 50}, {778.02/1000, 15, 50},
{782.79/1000, 20, 50}, {787.31/1000, 25, 50}, {791.61/1000, 30, 50}, {795.72/1000, 35, 50}, {799.64/1000, 40, 50}, {737.16/1000, 0.18, 75}, {743.58/1000, 5, 75},
{749.76/1000, 10, 75}, {755.52/1000, 15, 75}, {760.91/1000, 20, 75}, {766.00/1000, 25, 75}, {770.81/1000, 30, 75}, {775.38/1000, 35, 75}, {779.74/1000, 40, 75},
{710.54/1000, 0.39, 100}, {717.84/1000, 5, 100}, {725.10/1000, 10, 100}, {731.78/1000, 15, 100}, {737.98/1000, 20, 100}, {743.78/1000, 25, 100},
{749.23/1000, 30, 100}, {754.37/1000, 35, 100}, {759.24/1000, 40, 100}, {680.87/1000, 0.76, 125}, {689.18/1000, 5, 125}, {697.99/1000, 10, 125},
{705.96/1000, 15, 125}, {713.25/1000, 20, 125}, {719.99/1000, 25, 125}, {726.26/1000, 30, 125}, {732.13/1000, 35, 125}, {737.65/1000, 40, 125}};

p = Transpose[podaci][[1]]*1000;
p = Transpose[podaci][[2]]*10*100000;
T = Transpose[podaci][[3]] + 273.15;

M = 32.04/1000;
v = M/p;

p0 = 100000;
p0 = a0 + a1 T + a2 T^2;
B = b0 + b1 T + b2 T^2;

ρfun = 
$$\frac{\rho_0}{\left(1 - CC \cdot \text{Log10}\left[\frac{p_0 B}{\rho_0 B}\right]\right)}$$
;
OF = 
$$\sum_{i=1}^{\text{Length}[p]} (\rho[[i]] - ρfun[[i]])^2;$$


rjes = FindMinimum[OF, {{a0, 100}, {a1, 1}, {a2, 0.01}, {b0, 100000}, {b1, 1000}, {b2, 1}, {cc, 0.2}}];
Print[rjes];
a0 = rjes[[2, 1, 2]];
a1 = rjes[[2, 2, 2]];
a2 = rjes[[2, 3, 2]];
b0 = rjes[[2, 4, 2]];
b1 = rjes[[2, 5, 2]];
b2 = rjes[[2, 6, 2]];
CC = rjes[[2, 7, 2]];

ρcalc = ρfun;
perr = 
$$\frac{\rho_{\text{calc}} - \rho}{\rho} * 100;$$

rezult = Transpose[{ρ, ρcalc, perr}];
Print[rezult];

slikapodaci = Transpose[{p, T, ρ}];
slika00 = ListPointPlot3D[slikapodaci, BoxRatios -> {1, 1, 1}];
Clear[p];
Clear[T];
p0 = a0 + a1 T + a2 T^2;
B = b0 + b1 T + b2 T^2;
ρfun = 
$$\frac{\rho_0}{\left(1 - CC \cdot \text{Log10}\left[\frac{p_0 B}{\rho_0 B}\right]\right)}$$
;

slika21 = Plot3D[ρfun, {p, 0, 300000000}, {T, 300, 550}, BoxRatios -> {1, 1, 1}, Mesh -> False, PlotStyle -> {Opacity[0.3]}];
Show[slika00, slika21]

p = 101325;
T = 298.15;
Print["gustoća je ", funkacija, " kg m^-3"];
Print["molarni volumen je ", M/funkacija, " m^3 mol^-1"];
```

8.2 Proračun Stryjek-Verinih parametara

```
(*Sustav n-pentan (1)*)
(*Procjena Stryjek Vera parametara*)

ClearAll["Global`*"];

(*konstanta WS-PR modela*)
CC = -0.623;
(*opca plinska konstanta*)
R = 8.314;

(*Wagnerove konstante*)
Tc = 469.8;
a = -7.30698;
b = 1.75845;
c = -2.1629;
d = -2.9130;
pc = 33.75;
τ = 1 - T / Tc;

(*definiranje tocaka u zeljenom temperaturnom rasponu*)
T = Table[i, {i, 0, 190, 10}] + 273.15;
(*brojnost tocaka*)
nd = Length[T];

(*tlakovi para*)
psat = Exp[Log[pc] + (Tc / T) (a τ + b τ1.5 + c τ2.5 + d τ5)];

(*nove vrijednosti kritičnog tlaka i temperature za novu korelaciju*)
Tc = 469.7;
pc = 33.7;

(*Pitzerov koeficijent acentričnosti*)
ω = 0.252;

(*definiranje funkcije cilja*)
offunkcija := (
    (*definiranje matrica logaritama koeficijenta fugacitivnosti*)
    lnφL = {};
    lnφV = {};
    Do[
        (*izracunavanje reducirane temperature*)
        Tred =  $\frac{T_{\text{ti}}}{T_c}$ ;
        (*izracunavanje parametara PR-SV jednadzbe*)
        κ = 0.37893 + 1.4897153 ω + 0.17131848 ω2 + 0.0196554 ω3 + κ1 (1 + Tred0.5) (0.7 - Tred);
        α = (1 + κ (1 - Tred0.5))2;
        a =  $\frac{0.45724 R^2 T_c^2}{pc * 100000}$ ;
        b =  $\frac{0.077796 R T_c}{pc * 100000}$ ;
        A =  $\frac{a \alpha psat_{\text{ti}} * 100000}{R^2 (T_{\text{ti}})^2}$ ;
        B =  $\frac{b psat_{\text{ti}} * 100000}{R T_{\text{ti}}}$ 
    ],
    i = 1, i < nd, i++)
)
```

```

(*definiranje i rjesavanje polinoma treceg stupnja po koeficijentu kompresibilnosti*)

$$zfunk = z^3 - (1 - B) z^2 + (A - 3B^2 - 2B) z - (AB - B^2 - B^3);$$

rjesenje1 = NSolve[zfunk == 0, z];
(*izbor minimalnog realnog rjesenja kao koeficijenta kompresibilnosti kapljevine*)
zL = Min[Select[{rjesenje1[[1, 1, 2]], rjesenje1[[2, 1, 2]], rjesenje1[[3, 1, 2]]}, #1 ∈ Reals &]];
(*izbor maksimalnog realnog rjesenja kao koeficijenta kompresibilnosti pare*)
zV = Max[Select[{rjesenje1[[1, 1, 2]], rjesenje1[[2, 1, 2]], rjesenje1[[3, 1, 2]]}, #1 ∈ Reals &]];
(*punjenje matrica logaritama koeficijenta fugacitivnosti*)
AppendTo[lnφL, zL - 1 - Log[zL - B] -  $\frac{A}{2\sqrt{2}B} \operatorname{Log}\left[\frac{zL + 2.414B}{zL - 0.414B}\right]$ ];
AppendTo[lnφV, zV - 1 - Log[zV - B] -  $\frac{A}{2\sqrt{2}B} \operatorname{Log}\left[\frac{zV + 2.414B}{zV - 0.414B}\right]$ ];
, {i, 1, nd}];

(*izracunavanje funkcije cilja*)
OF =  $\frac{1}{nd} \sum_{i=1}^{nd} (\ln\varphi L_{ii} - \ln\varphi V_{ii})^2$ 
};

(*graficki prikaz ovisnosti funkcije cilja o parametru κ1*)
OFlist = {};
κ1start = -0.5;
Do[
    κ1 = κ1start + i * 0.001;
    OFfunkcija;
    AppendTo[OFlist, {κ1, OF}];
    , {i, 0, 1000}];
ListPlot[OFlist]

pozicija = Position[Transpose[OFlist][[2]], Min[Transpose[OFlist][[2]]]][[1, 1]];
rjesenje = OFlist[[pozicija]];
Print["{κ1, OF} = ", rjesenje]

```

8.3 Proračun parametara Wilsonova modela

```
(*ciscenje memorije*)
ClearAll["Global`"];
R = 8.314;
(*Temperatura sustava /°C*)
t = {42.441, 36.342, 33.82, 32.559, 31.855, 31.433, 31.168, 30.996, 30.881, 30.804, 30.752, 30.716, 30.692, 30.676, 30.666, 30.661, 30.664, 30.692, 30.871};
(*Temperatura sustava /K*)
T = t + 273.15;
(*brojnost mjerjenja*)
nd = Length[t];

(*Wagnerove konstante*)
Tc = 469.8;
a = -7.30698;
b = 1.75845;
c = -2.1629;
d = -2.9130;
pc = 33.75;
t = 1 - T/Tc;
psat1 = Exp[Log[pc] + (Tc/T) (a t + b t1.5 + c t2.5 + d t5)] * 100000;

Tc = 512.64;
a = -8.63571;
b = 1.17982;
c = -2.4790;
d = -1.0240;
pc = 80.92;
t = 1 - T/Tc;
psat2 = Exp[Log[pc] + (Tc/T) (a t + b t1.5 + c t2.5 + d t5)] * 100000;
psat = Transpose[{psat1, psat2}];

(*xavnotezni tlak*)
p = 101325;
(*molni udjeli pentana u kapljevini*)
x1 = {0.05, 0.1, 0.15, 0.2, 0.25, 0.3, 0.35, 0.4, 0.45, 0.5, 0.55, 0.6, 0.65, 0.7, 0.75, 0.8, 0.85, 0.9, 0.95};
(*molni udjeli metanola u kapljevini*)
x2 = 1 - x1;
(*molni udjeli pentana u paru*)
y1 = {0.62387, 0.72494, 0.76106, 0.77849, 0.78833, 0.79446, 0.79855, 0.80141, 0.80351, 0.80509, 0.80532, 0.80731, 0.80815, 0.8089, 0.80963, 0.81046, 0.81165, 0.81406, 0.82261};
(*molni udjeli metanola u paru*)
y2 = 1 - y1;

(*eksperimentalni koeficijenti aktivnosti*)
ymj1 =  $\frac{y1 p}{x1 \text{Transpose}[psat][1]}$ ;
ymj2 =  $\frac{y2 p}{x2 \text{Transpose}[psat][2]}$ ;
(*logaritmi eksperimentalnih koeficijenta aktivnosti*)
lnymj1 = Log[ymj1];
lnymj2 = Log[ymj2];
(*eksperimentalne ekscese Gibbsove energije*)
gExEksP = x1 lnymj1 + x2 lnymj2;
slikal = ListPlot[Transpose[{x1, gExEksP}]];

(*Molarni volumeni po Taitu*)

(*pentan*)
p0 = 100000;
M = 72.15/1000;
a0T = 692.0473953883799`;
a1T = 0.2870004649732815`;
a2T = -0.0018373862023173231`;
b0T = 2.0602141727267757`^8;
b1T = -778879.5638854438`;
b2T = 741.8315234191875`;
CCT = 0.22152107542300414`;
ρ0 = a0T + a1T T + a2T T2;
BT = b0T + b1T T + b2T T2;
funkcija =  $\frac{\rho_0}{(1 - CCT * \text{Log10}[\frac{p_0 + BT}{p_0 * BT}])}$ ;
v1 = M/funkcija;

(*metanol*)
p0 = 100000;
M = 32.04/1000;
a0T = 918.4016150356782`;
a1T = 0.01657184681955598`;
a2T = -0.0015456610754438392`;
b0T = 3.267715550382047`^8;
b1T = -1.1708239318782787`^6;
b2T = 1069.3426851857405`;
CCT = 0.21352455833861728`;
ρ0 = a0T + a1T T + a2T T2;
BT = b0T + b1T T + b2T T2;
funkcija =  $\frac{\rho_0}{(1 - CCT * \text{Log10}[\frac{p_0 + BT}{p_0 * BT}])}$ ;
v2 = M/funkcija;

(*Wilsonovi parametri*)
λ12 :=  $\frac{v2 - \lambda12}{v1 - R T}$ ;
λ21 :=  $\frac{v1 - \lambda21}{v2 - R T}$ ;
```

```

lnyr1 := -Log[(1 - x2) + λ12 x2] + x2  $\left( \frac{\lambda_{12}}{(1 - x2) + \lambda_{12} x2} - \frac{\lambda_{21}}{\lambda_{21} (1 - x2) + x2} \right);$ 
lnyr2 := -Log[λ21 (1 - x2) + x2] - (1 - x2)  $\left( \frac{\lambda_{12}}{(1 - x2) + \lambda_{12} x2} - \frac{\lambda_{21}}{\lambda_{21} (1 - x2) + x2} \right);$ 
(*racunske eksces Gibbsove energije*)
gExWilson = x1 lnyr1 + x2 lnyr2;

OF =  $\frac{1}{nd} \sum_{i=1}^{nd} (gExEksp[[i]] - gExWilson[[i]])^2;$ 
rjes1 = FindMinimum[OF, {{λ12, 1000}, {λ21, 1000}}];

Print[rjes1];
λ12 = rjes1[[2, 1, 2]];
λ21 = rjes1[[2, 2, 2]];

slika2 = ListPlot[Transpose[{x1, gExWilson}], PlotStyle -> Red, Joined -> True];
Show[slika1, slika2]

```

8.4 Proračun Wong-Sandlerova parametra

```
(*Sustav n-PENTAN (1) - METANOL (2)*
(*Procjena Wong-Sandler parametra*)

ClearAll["Global`"];

(*eksperimentalni podaci*)
(*molni udjeli pentana u kapljevinu*)
x1 = {0.05, 0.1, 0.15, 0.2, 0.25, 0.3, 0.35, 0.4, 0.45, 0.5, 0.55, 0.6, 0.65, 0.7, 0.75, 0.8, 0.85, 0.9, 0.95};
(*molni udjeli metanola u kapljevinu*)
x2 = 1 - x1;
(*molni udjeli pentana u paru*)
y1 = {0.62387, 0.72494, 0.76106, 0.77849, 0.78833, 0.79446, 0.79855, 0.80141, 0.80351, 0.80509, 0.80632, 0.80731, 0.80815, 0.8089, 0.80963, 0.81046, 0.81165, 0.81406, 0.82261};
(*molni udjeli metanola u paru*)
y2 = 1 - y1;
(*Tlačkovi / Pa*)
p = 101325;
(*Temperature sustava /°C*)
t = {42.441, 36.342, 33.82, 32.559, 31.855, 31.433, 31.168, 30.996, 30.881, 30.804, 30.752, 30.716, 30.692, 30.676, 30.666, 30.661, 30.664, 30.692, 30.871};
(*Temperature sustava /K*)
T = t + 273.15;
(*brojnost mješenja*)
nd = Length[t];

(*Wagnerove konstante*)
Tc = 469.8;
a = -7.30698;
b = 1.75845;
c = -2.1629;
d = -2.9130;
pc = 33.75;
t = 1 - T/Tc;
psat1 = Exp[Log[pc] + (Tc/T) (a t + b t^1.5 + c t^2.5 + d t^5)] * 100000;

Tc = 512.64;
a = -8.63571;
b = 1.17982;
c = -2.4790;
d = -1.0240;
pc = 80.92;
t = 1 - T/Tc;
psat2 = Exp[Log[pc] + (Tc/T) (a t + b t^1.5 + c t^2.5 + d t^5)] * 100000;

psat = Transpose[{psat1, psat2}];

(*eksperimentalni koeficijenti aktivnosti*)
ymj1 = y1 p / x1 Transpose[psat][[1]];
ymj2 = y2 p / x2 Transpose[psat][[2]];
lnymj1 = Log[ymj1];
lnymj2 = Log[ymj2];
(*eksperimentalne ekscese Gibbsove energije*)
gExEkp = x1 lnymj1 + x2 lnymj2;

(*Molarni volumeni po Taitu*)

(*pentan*)
p0 = 100000;
M = 72.15 / 1000;
a0T = 692.0473953883799`;
a1T = 0.2870004649732815`;
a2T = -0.0018373862023173231`;
b0T = 2.0602141727267757`*^8;
b1T = -778879.5638854438`;
b2T = 741.8315234191875`;
CCT = 0.22152107542300414`;
ρ0 = a0T + a1T T + a2T T^2;
BT = b0T + b1T T + b2T T^2;
funkcija = ρ0 / (1 - CCT * Log10[(p0 + BT) / (p0 * BT)]);
v1 = M / funkcija;

(*metanol*)
p0 = 100000;
M = 32.04 / 1000;
a0T = 918.4016150356762`;
a1T = 0.01657184681955598`;
a2T = -0.0015456610754438392`;
b0T = 3.267715505382047`*^8;
b1T = -1.1708239318782787`*^6;
b2T = 1069.3426851857405`;
CCT = 0.21382455833861728`;
ρ0 = a0T + a1T T + a2T T^2;
BT = b0T + b1T T + b2T T^2;
funkcija = ρ0 / (1 - CCT * Log10[(p0 + BT) / (p0 * BT)]);
v2 = M / funkcija;

(*Wilson parametri*)
λ12 = 1877.2277254478531`; λ21 = 12208.671595639535`;
λ12 := v2 / Exp[-(λ12 / (R T))];
v1 := λ12 / Exp[-(λ12 / (R T))];
λ21 := v1 / Exp[-(λ21 / (R T))];
```

```

(*racunski logaritmi koeficijenata aktivnosti*)
lnyrl := -Log[(1 - x2) + A12 x2] + x2  $\left( \frac{A12}{(1 - x2) + A12 x2} - \frac{A21}{A21 (1 - x2) + x2} \right);$ 
lnyr2 := -Log[A21 (1 - x2) + x2] - (1 - x2)  $\left( \frac{A12}{(1 - x2) + A12 x2} - \frac{A21}{A21 (1 - x2) + x2} \right);$ 
(*racunske ekscese Gibbsove energije*)
gExWilson := x1 lnyrl + x2 lnyr2;

(*konstanta WS-PR modela*)
CC = 0.623;
(*opaca plinska konstanta*)
R = 8.314;

(*kritične temperature*)
Tc = {469.7, 512.64};
(*kritični tlakovi*)
pc = {33.7, 80.97} * 100000;
(*Pitzerovi koeficijenti acentričnosti*)
w = {0.252, 0.565};

(*reducirane temperature*)
Tred = Table[T/Tc[[i]], {i, 1, 2}];

(*PR-SV parametri*)
b = 0.077796 R Tc;
b =  $\frac{pc}{0.077796 R Tc};$ 
x1 = {-0.079, -0.596};
 $\kappa = 0.378893 + 1.4897153 w + 0.17131848 w^2 + 0.0196554 w^3 + x1 (1 + Tred^{0.5}) (0.7 - Tred);$ 
 $\alpha = (1 + \kappa (1 - Tred^{0.5}))^2;$ 
a =  $\frac{0.45724 R^2 Tc^2}{pc} \alpha;$ 
a1 = a[[1]];
a2 = a[[2]];
B = Transpose[Table[Table[ $\frac{b_{11} P}{R T_{11}}$ , {j, 1, 2}], {i, 1, nd}]];
A = Transpose[Table[Table[ $\frac{a_{11} b_{11} P}{R^2 a_{11}^2}$ , {j, 1, 2}], {i, 1, nd}]];

(*definiranje funkcije cilja*)
Off[funkcija :=  $\left| \begin{array}{l} \text{...} \\ \text{...} \end{array} \right.$ ];
(*varijable WS pravila mijesanja*)
QQ = x1^2  $\left( b_{11} - \frac{a1}{RT} \right) + x2^2 \left( b_{22} - \frac{a2}{RT} \right) + 2 x1 x2 \left( \frac{1}{2} (b_{11} + b_{22}) - \frac{\sqrt{a1 a2}}{RT} (1 - k12) \right);
DD =  $\frac{1}{RT} \left( \frac{x1 a1}{b_{11}} + \frac{x2 a2}{b_{22}} + \frac{x1 lnyrl + x2 lnyr2}{CC} \right);$ 
bm =  $\frac{QQ}{1 - DD};$ 
am =  $R T \frac{QQ DD}{1 - DD};$ 

(*definiranje matrica koeficijenta kompresibilnosti*)
zLm = {}; zL1 = {}; zL2 = {};
(*petlja za izracunavanje koeficijenta kompresibilnosti*)
Do[
  (*rjesavanje polinoma treceg stupnja po koeficijentu kompresibilnosti za smjesu*)
  rjesenje1 = Solve[z^3 +  $\left( bm_{11} - \frac{P}{R T_{11}} - 1 \right) z^2 + \left( am_{11} \frac{P}{R^2 T_{11}^2} - 3 bm_{11}^2 \frac{P^2}{R^2 T_{11}^2} - 2 \frac{bm_{11} P}{R T_{11}} \right) z - \left( -bm_{11}^3 \frac{P^3}{R^3 T_{11}^3} - bm_{11}^2 \frac{P^2}{R^2 T_{11}^2} + am_{11} bm_{11} \frac{P^2}{R^3 T_{11}^3} \right) = 0, z];
  (*izbor rjesenja za koeficijent kompresibilnosti kapljevine*)
  AppendTo[zLm, rjesenje1[[1, 1, 2]]];
  (*rjesavanje polinoma treceg stupnja po koeficijentu kompresibilnosti za komponentu 1*)
  rjesenje1 = Solve[z^3 +  $\left( b_{11} - \frac{P}{R T_{11}} - 1 \right) z^2 + \left( a1_{11} \frac{P}{R^2 T_{11}^2} - 3 b_{11}^2 \frac{P^2}{R^2 T_{11}^2} - 2 \frac{b_{11} P}{R T_{11}} \right) z - \left( -b_{11}^3 \frac{P^3}{R^3 T_{11}^3} - b_{11}^2 \frac{P^2}{R^2 T_{11}^2} + a1_{11} b_{11} \frac{P^2}{R^3 T_{11}^3} \right) = 0, z];
  (*izbor rjesenja za koeficijent kompresibilnosti kapljevine*)
  AppendTo[zL1, rjesenje1[[1, 1, 2]]];
  (*rjesavanje polinoma treceg stupnja po koeficijentu kompresibilnosti za komponentu 2*)
  rjesenje1 = Solve[z^3 +  $\left( b_{22} - \frac{P}{R T_{11}} - 1 \right) z^2 + \left( a2_{11} \frac{P}{R^2 T_{11}^2} - 3 b_{22}^2 \frac{P^2}{R^2 T_{11}^2} - 2 \frac{b_{22} P}{R T_{11}} \right) z - \left( -b_{22}^3 \frac{P^3}{R^3 T_{11}^3} - b_{22}^2 \frac{P^2}{R^2 T_{11}^2} + a2_{11} b_{22} \frac{P^2}{R^3 T_{11}^3} \right) = 0, z];
  (*izbor rjesenja za koeficijent kompresibilnosti kapljevine*)
  AppendTo[zL2, rjesenje1[[1, 1, 2]]];
  , {i, 1, nd}];

(*izracunavanje parcijalnih derivacija u okviru PR-WS modela*)
delNDdelN1 =  $\frac{a1}{b_{11} RT} + \frac{lnyrl}{CC};$ 
delNDdelN2 =  $\frac{a2}{b_{22} RT} + \frac{lnyr2}{CC};$ 
delN2QdelN1 =  $2 x1 \left( b_{11} - \frac{a1}{RT} \right) + 2 x2 \left( \frac{1}{2} (b_{11} + b_{22}) - \frac{\sqrt{a1 a2}}{RT} (1 - k12) \right);$ 
delN2QdelN2 =  $2 x1 \left( \frac{1}{2} (b_{11} + b_{22}) - \frac{\sqrt{a1 a2}}{RT} (1 - k12) \right) + 2 x2 \left( b_{22} - \frac{a2}{RT} \right);$ 
delNBdelN1 =  $\frac{delN2QdelN1 - \frac{QQ}{1 - DD}}{(1 - DD)^2} (1 - delNDdelN1);$ 
delNBdelN2 =  $\frac{delN2QdelN2 - \frac{QQ}{1 - DD}}{(1 - DD)^2} (1 - delNDdelN2);$ 
delN2AdelN1 = R T DD delNBdelN1 + R T bm delNDdelN1;
delN2AdelN2 = R T DD delNBdelN2 + R T bm delNDdelN2;$$$$ 
```

```

(*izracunavanje parcijalnih koeficijenata fugacitivnosti*)
lnφ1 =  $\frac{1}{bm} \text{delNBdelN1} (zLm - 1) - \text{Log}\left[zLm - \frac{bm p}{R T}\right] - \frac{am}{2\sqrt{2} bm R T} \left(\frac{1}{am} \text{delN2adelN1} - \frac{1}{bm} \text{delNBdelN1}\right) \text{Log}\left[\frac{zLm + (1+\sqrt{2}) \frac{bm p}{R T}}{zLm + (1-\sqrt{2}) \frac{bm p}{R T}}\right];$ 
lnφ2 =  $\frac{1}{bm} \text{delNBdelN2} (zLm - 1) - \text{Log}\left[zLm - \frac{bm p}{R T}\right] - \frac{am}{2\sqrt{2} bm R T} \left(\frac{1}{am} \text{delN2adelN2} - \frac{1}{bm} \text{delNBdelN2}\right) \text{Log}\left[\frac{zLm + (1+\sqrt{2}) \frac{bm p}{R T}}{zLm + (1-\sqrt{2}) \frac{bm p}{R T}}\right];$ 
(*izracunavanje koeficijenata fugacitivnosti za ciste kapljevine*)
lnφst1 = Table[zL1[i] - 1 - Log[zL1[i] - B1[i, i]] -  $\frac{A1[i, i]}{2\sqrt{2} B1[i, i]} \text{Log}\left[\frac{zL1[i] + (1+\sqrt{2}) B1[i, i]}{zL1[i] + (1-\sqrt{2}) B1[i, i]}\right]$ , {i, 1, nd}];
lnφst2 = Table[zL2[i] - 1 - Log[zL2[i] - B2[i, i]] -  $\frac{A2[i, i]}{2\sqrt{2} B2[i, i]} \text{Log}\left[\frac{zL2[i] + (1+\sqrt{2}) B2[i, i]}{zL2[i] + (1-\sqrt{2}) B2[i, i]}\right]$ , {i, 1, nd}];
(*izracunavanje eksces Helmholzovih energija*)
aExEOS = x1 (lnφ1 - lnφst1) + x2 (lnφ2 - lnφst2);

(*izracunavanje funkcije cilja*)
OF =  $\frac{1}{nd} \sum_{i=1}^{nd} (aExEOS[i] - gExWilson[i])^2$ ;
};

(*graficki prikaz eksperimentalne eksces Gibbsove energije*)
slik1 = ListPlot[Transpose[{x1, gExEks}], PlotStyle -> {Black}];

(*graficki prikaz racunske eksces Gibbsove energije*)
slik2 = ListPlot[Transpose[{x1, gExWilson}], PlotStyle -> {Black}, Joined -> True];

(*graficki prikaz ovisnosti funkcije cilja o parametru k1*)
OFlist = {};
k12start = -0.5;
Do[
  k12 = k12start + i * 0.001;
  OFfunkcija;
  AppendTo[OFlist, {k12, OF}];
  , {i, 0, 1000}];
Listplot[ORlist];

pozicija = Position[Transpose[OFlist][[2]], Min[Transpose[OFlist][[2]]]][[1, 1]];
rjesenje = OFlist[[pozicija]];
Print["k12, OF = ", rjesenje];

(*za crtanje krivulje Helmholzove energije*)
k12 = 0.258;
(*varijable WS pravila mijesanja*)
QQ = x1^2  $\left(b_{11} - \frac{a1}{RT}\right) + x2^2 \left(b_{22} - \frac{a2}{RT}\right) + 2x1x2 \left(\frac{1}{2} (b_{11} + b_{22}) - \frac{\sqrt{a1a2}}{RT} (1 - k12)\right);$ 
DD =  $\frac{1}{RT} \left( \frac{x1 a1}{b_{11}} + \frac{x2 a2}{b_{22}} + \frac{x1 \ln y1 + x2 \ln y2}{CC} \right);$ 
bm =  $\frac{QQ}{1 - DD};$ 
am = RT  $\frac{QQ DD}{1 - DD};$ 
am = RT;

(*definiranje matrica koeficijenta kompresibilnosti*)
zLm = {} ; zL1 = {} ; zL2 = {};
(*petlja za izracunavanje koeficijenta kompresibilnosti*)
Do[
  (*rjesavanje polinoma treceg stupnja po koeficijentu kompresibilnosti za smjesu*)
  rjesenjel = Solve[z^3 +  $\left(b_{11} \frac{P}{RT_{11}} - 1\right) z^2 + \left(a_{11} \frac{P}{R^2 T_{11}^2} - 3b_{11}^2 \frac{P^2}{R^2 T_{11}^2} - 2 \frac{bm_{11} p}{R^2 T_{11}}\right) z - \left(-bm_{11}^3 \frac{P^3}{R^3 T_{11}^3} - bm_{11}^2 \frac{P^2}{R^2 T_{11}^2} + am_{11} bm_{11} \frac{P^2}{R^3 T_{11}^3}\right) = 0, z];$ 
  (*izbor rjesenja za koeficijent kompresibilnosti kapljevine*)
  AppendTo[zLm, rjesenjel[[1, 1, 2]]];
  (*rjesavanje polinoma treceg stupnja po koeficijentu kompresibilnosti za komponentu 1*)
  rjesenjel = Solve[z^3 +  $\left(b_{11} \frac{P}{RT_{11}} - 1\right) z^2 + \left(a_{11} \frac{P}{R^2 T_{11}^2} - 3b_{11}^2 \frac{P^2}{R^2 T_{11}^2} - 2 \frac{b_{11} p}{R^2 T_{11}}\right) z - \left(-b_{11}^3 \frac{P^3}{R^3 T_{11}^3} - b_{11}^2 \frac{P^2}{R^2 T_{11}^2} + a_{11} b_{11} \frac{P^2}{R^3 T_{11}^3}\right) = 0, z];$ 
  (*izbor rjesenja za koeficijent kompresibilnosti kapljevine*)
  AppendTo[zL1, rjesenjel[[1, 1, 2]]];
  (*rjesavanje polinoma treceg stupnja po koeficijentu kompresibilnosti za komponentu 2*)
  rjesenjel = Solve[z^3 +  $\left(b_{22} \frac{P}{RT_{22}} - 1\right) z^2 + \left(a_{22} \frac{P}{R^2 T_{22}^2} - 3b_{22}^2 \frac{P^2}{R^2 T_{22}^2} - 2 \frac{b_{22} p}{R^2 T_{22}}\right) z - \left(-b_{22}^3 \frac{P^3}{R^3 T_{22}^3} - b_{22}^2 \frac{P^2}{R^2 T_{22}^2} + a_{22} b_{22} \frac{P^2}{R^3 T_{22}^3}\right) = 0, z];$ 
  (*izbor rjesenja za koeficijent kompresibilnosti kapljevine*)
  AppendTo[zL2, rjesenjel[[1, 1, 2]]];
  , {i, 1, nd}];

(*izracunavanje parcijalnih derivacija u okviru PR-WS modela*) delNDdelN1 =  $\frac{a1}{b_{11} RT} + \frac{\ln y1}{CC};$ 

```

```

delNDdelN2 =  $\frac{a_2}{b_{[2]} R T} + \frac{\ln x_2}{c c};$ 
delN2QdelN1 =  $2 x_1 \left( b_{[1]} - \frac{a_1}{R T} \right) + 2 x_2 \left( \frac{1}{2} (b_{[1]} + b_{[2]}) - \frac{\sqrt{a_1 a_2}}{R T} (1 - k_{12}) \right);$ 
delN2QdelN2 =  $2 x_1 \left( \frac{1}{2} (b_{[1]} + b_{[2]}) - \frac{\sqrt{a_1 a_2}}{R T} (1 - k_{12}) \right) + 2 x_2 \left( b_{[2]} - \frac{a_2}{R T} \right);$ 
delNBdelN1 =  $\frac{delN2QdelN1}{1 - DD} - \frac{QQ}{(1 - DD)^2} (1 - delNDdelN1);$ 
delNBdelN2 =  $\frac{delN2QdelN2}{1 - DD} - \frac{QQ}{(1 - DD)^2} (1 - delNDdelN2);$ 
delN2adelN1 =  $R T D D delNBdelN1 + R T b_m delNDdelN1;$ 
delN2adelN2 =  $R T D D delNBdelN2 + R T b_m delNDdelN2;$ 

(*izracunavanje parcijalnih koeficijenata fugacitivnosti*) lnφ1 =  $\frac{1}{b_m} delNBdelN1 (zLm - 1) - \text{Log} \left[ zLm - \frac{b_m p}{R T} \right] - \frac{am}{2 \sqrt{2} b_m R T} \left( \frac{1}{am} delN2adelN1 - \frac{1}{km} delNBdelN1 \right) \text{Log} \left[ \frac{zLm + (1 + \sqrt{2}) \frac{b_m p}{R T}}{zLm + (1 - \sqrt{2}) \frac{b_m p}{R T}} \right];$ 
lnφ2 =  $\frac{1}{b_m} delNBdelN2 (zLm - 1) - \text{Log} \left[ zLm - \frac{b_m p}{R T} \right] - \frac{am}{2 \sqrt{2} b_m R T} \left( \frac{1}{am} delN2adelN2 - \frac{1}{bm} delNBdelN2 \right) \text{Log} \left[ \frac{zLm + (1 + \sqrt{2}) \frac{b_m p}{R T}}{zLm + (1 - \sqrt{2}) \frac{b_m p}{R T}} \right];$ 
lnφst1 =  $zL1 - 1 - \text{Log} [zL1 - B_{[1]}] - \frac{B_{[1]}}{2 \sqrt{2} B_{[1]}} \text{Log} \left[ \frac{zL1 + (1 + \sqrt{2}) B_{[1]}}{zL1 + (1 - \sqrt{2}) B_{[1]}} \right];$ 
lnφst2 =  $zL2 - 1 - \text{Log} [zL2 - B_{[2]}] - \frac{B_{[2]}}{2 \sqrt{2} B_{[2]}} \text{Log} \left[ \frac{zL2 + (1 + \sqrt{2}) B_{[2]}}{zL2 + (1 - \sqrt{2}) B_{[2]}} \right];$ 
aExEOS =  $x_1 (lnφ1 - lnφst1) + x_2 (lnφ2 - lnφst2);$ 

(*graficki prikaz racunske ekscese Gibbsove energije*)
slika3 = ListPlot[Transpose[{x1, aExEOS}], PlotStyle -> {Red}, Joined -> True];

Show[slika1, slika2, slika3, AxesLabel -> {"x2", "(\frac{gex}{RT})exp, (\frac{gex}{RT})NRTL, (\frac{aex}{RT})PRSV"}, PlotRange -> {{0, 1}, {-0.02, 1}}]

```

8.5 Konstrukcija izobarnoga faznoga dijagrama

```
(*Sustav n-PENTAN (1) - METANOL (2)*
(*Konstrukcija izobarnog faznog dijagrama s pomocu PR-SV WS jednadzbe stanja*)

ClearAll["Global`*"];

(*brojnost komponenata*)
nk = 2;

(*konstante*)

(*konstanta WS-PR modela*)
CC = 0.623;
(*opca plinska konstanta*)
R = 8.314;
(*skriticni parametri*)
Tc = {469.7, 512.64};
pc = {33.7, 80.97}*100000;
zo = {0.268, 0.224};
(*Pitzerov koeficijent acentricnosti*)
w = {0.252, 0.565};
(*Stryjek Vera parametri*)
k1 = {-0.079, -0.596};
(*Wong Sandler parametar*)
k12 = 0.258;

(*Antoineove konstante*)
AntA = {3.97786, 5.20277};
AntB = {1064.840, 1580.080};
AntC = {232.014, 239.500};

(*Taitovi parametri*)
p0 = 100000;
M = {72.15/1000, 32.04/1000};
a0T = {692.047395383799, 918.4016150356782};
a1T = {0.2870004649732815, 0.01657184681955598};
a2T = {-0.0018373862023173231, -0.0015456610754438392};
b0T = {2.0602141727267757`*8, 3.267715550382047`*8};
b1T = {-778879.5638854438, -1.1708239318782787`*6};
b2T = {741.8315234191875, 1069.3426851857405`};
CCT = {0.22152107542300414, 0.21352455833861728`};

(*Wilsonovi parametri*)
λ12 = 1877.2277254478531`; λ21 = 12208.671595639535`;

(*Wagnerove konstante*)
TwW = {469.8, 512.64};
aw = {-7.30699, -8.63571};
bw = {1.75845, 1.17982};
cw = {-2.1629, -2.4790};
dw = {-2.9130, -1.0240};
pwW = {33.75, 80.92};

(*Peng Robinson parametar*)
b = 0.077796 R Tc;
pc

(*Ekperimentalni tlak*)
pi = 101325;

(*procedura za izracunavanje koeficijenta kompresibilnosti*)
zfunkcija := [
  (*reducirana temperatura*)
  Tred = T/Tc;
  (*Peng Robinson Stryjek Vera parametri*)
  x = 0.378693 + 1.4897153 w + 0.17131848 w^2 + 0.0196554 w^3 + k1 (1 + Tred^0.5) (0.7 - Tred);
  α = (1 + k1 (1 - Tred^0.5));
  a = 0.45724 R^2 Tc^2 / pc;
  (*molarni volumeni po Taitus*)
  p0 = a0T + a1T T + a2T T^2;
  BT = b0T + b1T T + b2T T^2;
  funkcija = ρ0 / (1 - CCT * Log10[p0/BT]);
  vvvv = M/funkcija;
  {v1, v2} = vvvv;
  (*logaritmi koeficijenata aktivnosti po Wilsonu*)
  A12 = v2/v1 Exp[-λ12/(R T)];
  A21 = v1/v2 Exp[-λ21/(R T)];
  lnxy1 = -Log[(1 - x2) + A12 x2] + x2 (λ12 / (1 - x2) + A12 x2 - λ21 (1 - x2) + x2);
  lnxy2 = -Log[A21 (1 - x2) + x2] - (1 - x2) (λ12 / (1 - x2) + A12 x2 - λ21 (1 - x2) + x2);
  (*varijable WS pravila mjesanja*)
  QQ = x1^2 (b11 - a11/(R T)) + x2^2 (b22 - a22/(R T)) + 2 x1 x2 (1/2 (b11 + b22) - √(a11 a22)/(R T)) (1 - k12);
  DD = 1/(R T) (x1 a11/b11 + x2 a22/b22) + x1 lnxy1 + x2 lnxy2 / CC;
  hm = QQ / (1 - DD);
  am = R T / (1 - DD);
  (*rjesavanje polinoma treceg stupnja po koeficijentu kompresibilnosti za smjesu*)
  z = Solve[x^3 + (hm P/(R T) - 1) x^2 + (am P/(R^2 T^2) - 3 hm^2 P^2/(R^2 T^2) - 2 hm P/(R T)) z - (-hm^3 P^3/(R^3 T^3) - hm^2 P^2/(R^2 T^2) + am hm P^2/(R^3 T^3)) == 0, z];
];

(*Sustav n-PENTAN (1) - METANOL (2)*
(*Konstrukcija izobarnog faznog dijagrama s pomocu PR-SV WS jednadzbe stanja*)

ClearAll["Global`*"];

(*brojnost komponenata*)
nk = 2;

(*konstante*)

(*konstanta WS-PR modela*)
CC = 0.623;
(*opca plinska konstanta*)
R = 8.314;
(*skriticni parametri*)
Tc = {469.7, 512.64};
pc = {33.7, 80.97}*100000;
zo = {0.268, 0.224};
(*Pitzerov koeficijent acentricnosti*)
w = {0.252, 0.565};
(*Stryjek Vera parametri*)
k1 = {-0.079, -0.596};
(*Wong Sandler parametar*)
k12 = 0.258;

(*Antoineove konstante*)
AntA = {3.97786, 5.20277};
AntB = {1064.840, 1580.080};
AntC = {232.014, 239.500};

(*Taitovi parametri*)
p0 = 100000;
M = {72.15/1000, 32.04/1000};
a0T = {692.047395383799, 918.4016150356782};
a1T = {0.2870004649732815, 0.01657184681955598};
a2T = {-0.0018373862023173231, -0.0015456610754438392};
b0T = {2.0602141727267757`*8, 3.267715550382047`*8};
b1T = {-778879.5638854438, -1.1708239318782787`*6};
b2T = {741.8315234191875, 1069.3426851857405`};
CCT = {0.22152107542300414, 0.21352455833861728`};

(*Wilsonovi parametri*)
λ12 = 1877.2277254478531`; λ21 = 12208.671595639535`;

(*Wagnerove konstante*)
TwW = {469.8, 512.64};
aw = {-7.30699, -8.63571};
bw = {1.75845, 1.17982};
cw = {-2.1629, -2.4790};
dw = {-2.9130, -1.0240};
pwW = {33.75, 80.92};

(*Peng Robinson parametar*)
b = 0.077796 R Tc;
pc

(*Ekperimentalni tlak*)
pi = 101325;

(*procedura za izracunavanje koeficijenta kompresibilnosti*)
zfunkcija := [
  (*reducirana temperatura*)
  Tred = T/Tc;
  (*Peng Robinson Stryjek Vera parametri*)
  x = 0.378693 + 1.4897153 w + 0.17131848 w^2 + 0.0196554 w^3 + k1 (1 + Tred^0.5) (0.7 - Tred);
  α = (1 + k1 (1 - Tred^0.5));
  a = 0.45724 R^2 Tc^2 / pc;
  (*molarni volumeni po Taitus*)
  p0 = a0T + a1T T + a2T T^2;
  BT = b0T + b1T T + b2T T^2;
  funkcija = ρ0 / (1 - CCT * Log10[p0/BT]);
  vvvv = M/funkcija;
  {v1, v2} = vvvv;
  (*logaritmi koeficijenata aktivnosti po Wilsonu*)
  A12 = v2/v1 Exp[-λ12/(R T)];
  A21 = v1/v2 Exp[-λ21/(R T)];
  lnxy1 = -Log[(1 - x2) + A12 x2] + x2 (λ12 / (1 - x2) + A12 x2 - λ21 (1 - x2) + x2);
  lnxy2 = -Log[A21 (1 - x2) + x2] - (1 - x2) (λ12 / (1 - x2) + A12 x2 - λ21 (1 - x2) + x2);
  (*varijable WS pravila mjesanja*)
  QQ = x1^2 (b11 - a11/(R T)) + x2^2 (b22 - a22/(R T)) + 2 x1 x2 (1/2 (b11 + b22) - √(a11 a22)/(R T)) (1 - k12);
  DD = 1/(R T) (x1 a11/b11 + x2 a22/b22) + x1 lnxy1 + x2 lnxy2 / CC;
  hm = QQ / (1 - DD);
  am = R T / (1 - DD);
  (*rjesavanje polinoma treceg stupnja po koeficijentu kompresibilnosti za smjesu*)
  z = Solve[x^3 + (hm P/(R T) - 1) x^2 + (am P/(R^2 T^2) - 3 hm^2 P^2/(R^2 T^2) - 2 hm P/(R T)) z - (-hm^3 P^3/(R^3 T^3) - hm^2 P^2/(R^2 T^2) + am hm P^2/(R^3 T^3)) == 0, z];
];

```

```

(*procedura za izracunavanje parcijalnih fugacitivnosti*)
ffunkcija := [
  (*izracunavanje parcijalnih derivacija u okviru PR-WS modela*)
  delNDdelN1 =  $\frac{a_{[1]}}{b_{[1]} R T} + \frac{\ln r_{[1]}}{CC}$ ;
  delNDdelN2 =  $\frac{a_{[2]}}{b_{[2]} R T} + \frac{\ln r_{[2]}}{CC}$ ;
  delN2QdelN1 =  $2 x_1 \left( b_{[1]} - \frac{a_{[1]}}{R T} \right) + 2 x_2 \left( \frac{1}{2} (b_{[1]} + b_{[2]}) - \frac{\sqrt{a_{[1]} a_{[2]}}}{R T} (1 - k_{12}) \right)$ ;
  delN2QdelN2 =  $2 x_1 \left( \frac{1}{2} (b_{[1]} + b_{[2]}) - \frac{\sqrt{a_{[1]} a_{[2]}}}{R T} (1 - k_{12}) \right) + 2 x_2 \left( b_{[2]} - \frac{a_{[2]}}{R T} \right)$ ;
  delNBdelN1 =  $\frac{delN2QdelN1}{1 - DD} - \frac{QQ}{(1 - DD)^2} (1 - delNDdelN1)$ ;
  delNBdelN2 =  $\frac{delN2QdelN2}{1 - DD} - \frac{QQ}{(1 - DD)^2} (1 - delNDdelN2)$ ;
  delN2AdeleN1 =  $R T DD delNBdelN1 + R T \ln b_{[1]} delNDdelN1$ ;
  delN2AdeleN2 =  $R T DD delNBdelN2 + R T \ln b_{[2]} delNDdelN2$ ;
  (*izracunavanje parcijalnih koeficijenata fugacitivnosti*)
  lnq1 =  $\frac{1}{bm} delNBdelN1 (zm - 1) - \ln \left[ zm - \frac{bm p}{R T} \right] - \frac{am}{2 \sqrt{2} bm R T} \left( \frac{1}{am} delN2AdeleN1 - \frac{1}{bm} delNBdelN1 \right) \ln \left[ \frac{zm + \frac{(1 + \sqrt{2})}{R T} \frac{bm p}{R T}}{zm + \frac{(1 - \sqrt{2})}{R T} \frac{bm p}{R T}} \right]$ ;
  lnq2 =  $\frac{1}{bm} delNBdelN2 (zm - 1) - \ln \left[ zm - \frac{bm p}{R T} \right] - \frac{am}{2 \sqrt{2} bm R T} \left( \frac{1}{am} delN2AdeleN2 - \frac{1}{bm} delNBdelN2 \right) \ln \left[ \frac{zm + \frac{(1 + \sqrt{2})}{R T} \frac{bm p}{R T}}{zm + \frac{(1 - \sqrt{2})}{R T} \frac{bm p}{R T}} \right]$ ;
  (*izracunavanje parcijalnih fugacitivnosti*)
  f = {Exp[lnq1] x1 p, Exp[lnq2] x2 p};
];

(*definiranje listi za graficki prikaz rezultata*)
Tlist = {};
Tylist = {};
xylist = {};

(*otvaranje petlje sastava*)
xlistart = 0.01;

Do[
  Print[j];
  (*definiranje sastava*)
  x1 = xlistart + j * 0.01;
  x2 = 1 - x1;
  x = {x1, x2};

  (*izracunavanje pocetne pretpostavke temperature*)
  Tsat =  $\frac{AntB}{AntA - \ln \left[ 10, \frac{ps}{100000} \right]} - AntC + 273.15$ ;
  T =  $\sum_{i=1}^{nk} Tsat[i] x[i]$ ;

  (*postavljanje inicijalne vrijednosti testa tlaka*)
  test3 = 100;

  (*otvaranje petlje temperature*)
  While[Abs[test3] > 0.001,
    (*ravnateljni tlakovi*)
    t = 1 - T/TcW;
    psat = Exp[Log[pcW] + (TcW/T) (aW t + bW t^1.5 + cW t^2.5 + dW t^5)] * 100000;
    (*izracunavanje pocetne pretpostavke tlaka*)
    p =  $\sum_{i=1}^{nk} x[i] psat[i]$ ;
    (*izracunavanje pocetne pretpostavke koeficijenta raspodjele*)
    K =  $\frac{psat}{p}$ ;
    (*Izracunavanje sastava parne faze*)
    y = K x;

    (*postavljanje inicijalne vrijednosti testa materijalne bilance parne faze*)
    test2 = 100;

    (*otvaranje petlje materijalne bilance parne faze*)
    While[test2 > 0.0000001,
      (*izracunavanje koeficijenta kompresibilnosti kapljevine*)
      {x1, x2} = x;
      Zfunkcija;
      ZL = Min[Select[{z[[1, 1, 2]], z[[2, 1, 2]], z[[3, 1, 2]]}, #1 ∈ Reals &]];
      (*izracunavanje parcijalnih fugacitivnosti kapljevine*)
      zm = ZL;
      ffunckcija;
      fL = f;
      (*postavljanje inicijalne vrijednosti testa ravnoteze*)
      test1 = 100;

      (*otvaranje petlje testa ravnoteze*)
      While[test1 > 0.0000001,
        (*Izracunavanje koeficijenta kompresibilnosti pare*)
        {x1, x2} = y;
        Zfunkcija;
        ZV = Max[Select[{z[[1, 1, 2]], z[[2, 1, 2]], z[[3, 1, 2]]}, #1 ∈ Reals &]];
      ];
    ];
  ];
];

```

```

(*Izracunavanje parcijalnih fugacitivnosti pare*)
zm = ZV;
ffunkcija;
fV = f;

(*izracunavanje novog sastava pare*)
ynovi =  $\frac{f_L}{f_V} y$ ;

(*izracunvanje testa ravnoteze*)
test1 =  $\sum_{i=1}^{n_k} \text{Abs}[y_{\text{novi},i} - y_{t,i}]$ ;

(*novi sastav pare postaje starim*)
y = ynovi;

(*zatvaranje petlje testa ravnoteze*)
];

(*izracunavanje testa materijalne bilance parne faze*)
test2 = Abs[-1 +  $\sum_{i=1}^{n_k} y_{t,i}$ ];

(*korigiranje tlaka sustava*)
p = p  $\sum_{i=1}^{n_k} y_{t,i}$ ;
(*zatvaranje petlje materijalne bilance parne faze*)
];

(*testiranje tlaka sustava*)
test3 =  $\frac{p - p_i}{p_i}$ ;
If[p > p_i, T = T - 0.01, T = T + 0.01];

(*zatvaranje petlje temperature*)
];

(*ispis rezultata*)
Print["Temperatura sustava, T = ", T];
Print["Fugacitivnosti komponenten u kapljevini, fL = ", fL];
Print["Fugacitivnosti komponenata u pari , fV = ", fV];
Print["Sastav kapljevine , x = ", x];
Print["Sastav pare , y = ", y];
Print[];

(*punjenje listi za graficki prikaz rezultata*)
AppendTo[txlist, {xpi, T}];
AppendTo[tylist, {ypi, T}];
AppendTo[xylist, {xpi, ypi}];

(*zatvaranje petlje sastava*)
, {j, 0, 98}];

(*graficki prikaz rezultata proracuna*)
ListPlot[xylist, AspectRatio -> 1, PlotRange -> {{0, 1}, {0, 1}}, Frame -> True, PlotJoined -> True, AxesLabel -> {"xi", "yi"}]
slika1 = ListPlot[txlist, AspectRatio -> 1, PlotRange -> {{0, 1}, {Min[Transpose[txlist][2]] - 2, Max[Transpose[txlist][2] + 2]}}, Frame -> True, PlotJoined -> True, DisplayFunction -> Identity];
slika2 = ListPlot[tylist, AspectRatio -> 1, PlotRange -> {{0, 1}, {Min[Transpose[tylist][2]] - 2, Max[Transpose[tylist][2] + 2]}}, Frame -> True, PlotJoined -> True, DisplayFunction -> Identity];
Show[slika1, slika2, DisplayFunction -> $DisplayFunction]

```

8.6 Konstrukcija izotermnoga faznoga dijagrama

```
(*Sustav n-PENTAN (1) - METANOL (2)*)
(*Konstrukcija izoternog faznog dijagrama s pomocu PR-SV WS jednadzbe stanja*)

ClearAll["Global`*"];

(*brojnost komponenata*)
nk = 2;

(*konstante*)

(*konstanta WS-PR modela*)
CC = -0.623;
(*oponačna konstanta*)
R = 8.314;
(*skriptni parametri*)
Tc = {469.7, 512.64};
pc = {33.7, 80.97}*100000;
zc = {0.268, 0.224};
(*Pitzerov koeficijent acentricnosti*)
w = {0.252, 0.565};
(*Stryjek Vera parametri*)
x1 = {-0.079, -0.596};
(*Mong Sandler parametri*)
k12 = 0.258;

(*Eksperimentalna temperatura*)
t = 25;
T = t + 273.15;

(*Peng Robinson Stryjek Vera parametri*)
b = 0.077796 R Tc / pc;
(*reducirana temperatura*)
Tred = T / Tc;
x = 0.378893 + 1.4897153 w + 0.17131848 w^2 + 0.0196554 w^3 + x1 (1 + Tred^0.5) (0.7 - Tred);
a = (1 + x (1 - Tred^0.5))^2;
a = 0.45724 R^2 Tc^2 / pc;

(*Taitovi parametri*)
p0 = 100000;
M = (72.15 / 1000, 32.04 / 1000);
a0T = {692.0473953883799, 918.4016150356782};
a1T = {0.2870004649732815, 0.01657184681955598};
a2T = {-0.0018373862033173231, -0.0015456610754438392};
b0T = {2.0620141/2/26/7/5, **8, 3.26/15550/382U4/7 **8};
b1T = {-778879.5638854438, -1.1708239318782787 **6};
b2T = {741.8315234191875, 1069.3426851857405};
CCT = {0.22152107542300414, 0.21352455833861728};

(*smolarni volumeni po Taitusu*)
rho = a0T + a1T T + a2T T^2;
br = b0T + b1T T + b2T T^2;
funkcija =  $\frac{\rho_0}{(1 - CCT \cdot \text{Log}[0] \left[ \frac{\rho_0 \cdot CCT}{\rho_0 + CCT} \right])}$ ;
vvvv = M / funkcija;
{v1, v2} = vvvv;

(*Wilsonovi parametri*)
lambda12 = 1877.2277254478531; lambda21 = 12208.671595639535;
Lambda12 =  $\frac{v_2}{v_1} \text{Exp} \left[ -\frac{\lambda_{12}}{R T} \right]$ ;
Lambda21 =  $\frac{v_1}{v_2} \text{Exp} \left[ -\frac{\lambda_{21}}{R T} \right]$ ;

(*Magnarove konstante*)
TauW = {469.8, 512.64};
aw = {-7.30698, -8.63571};
bw = {11.75845, 1.17982};
cw = {-2.1629, -2.4790};
dw = {-2.9130, -1.0240};
pcW = {33.75, 80.92};

(*svravnatezni tlakovi*)
t = 1 / T / TauW;
psat = Exp[Log[pcW] + (TauW / t) (aw t + bw t^{1.5} + cw t^{2.5} + dw t^5)] * 100000;

(*procedura za izracunavanje koeficijenta kompresibilnosti*)
zfunkcija := 
$$\left( \begin{array}{l} \text{ilogaritmi koeficijenata aktivnosti po Wilsonu:} \\ \ln x_{12} = -\text{Log}((1 - x2) + \lambda_{12} x2) + x2 \left( \frac{\lambda_{12}}{(1 - x2) + \lambda_{12} x2} - \frac{\lambda_{21}}{\lambda_{21} (1 - x2) + x2} \right); \\ \ln x_{21} = -\text{Log}(\lambda_{21} (1 - x2) + x2) - (1 - x2) \left( \frac{\lambda_{12}}{(1 - x2) + \lambda_{12} x2} - \frac{\lambda_{21}}{\lambda_{21} (1 - x2) + x2} \right); \\ \text{variabilne WS pravila mijesanja:} \\ QO = x1^2 \left( b_{112} - \frac{a_{112}}{R T} \right) + x2^2 \left( b_{212} - \frac{a_{212}}{R T} \right) + 2 x1 x2 \left( \frac{1}{2} (b_{112} + b_{212}) - \frac{\sqrt{a_{112} a_{212}}}{R T} (1 - k12) \right); \\ DD = \frac{1}{R T} \left( \frac{x1 a_{112}}{b_{112}} + \frac{x2 a_{212}}{b_{212}} + \frac{x1 \ln x_{12} + x2 \ln x_{21}}{CC} \right); \\ hm = \frac{QO}{1 - DD}; \\ am = R T \frac{QO \cdot DD}{1 - DD}; \\ \text{(rjesavanje polinoma treceg stupnja po koeficijentu kompresibilnosti za smjesu)} \\ z = \text{Solve} \left[ z^3 + \left( hm \frac{P}{R T} - 1 \right) z^2 + \left( am \frac{P}{R^2 T^2} - 3 hm^2 \frac{P^2}{R^2 T^2} - 2 \frac{hm \cdot P}{R T} \right) z - \left( hm^3 \frac{P^3}{R^2 T^3} - hm^2 \frac{P^2}{R^2 T^2} + am hm \frac{P^2}{R^2 T^3} \right) = 0, z \right]; \end{array} \right)$$

```

```

(*procedura za izracunavanje parcijalnih fugacitivnosti*)
ffunkcija := [
  (*izracunavanje parcijalnih derivacija u okviru PR-WS modela*)
  delNDdelN1 =  $\frac{a_{[1]}}{b_{[1]} R T} + \frac{\ln y_{[1]}}{CC}$ ;
  delNDdelN2 =  $\frac{a_{[2]}}{b_{[2]} R T} + \frac{\ln y_{[2]}}{CC}$ ;
  delN2QdelN1 =  $2 x_1 \left( b_{[1]} - \frac{a_{[1]}}{R T} \right) + 2 x_2 \left( \frac{1}{2} (b_{[1]} + b_{[2]}) - \frac{\sqrt{a_{[1]} a_{[2]}}}{R T} (1 - k_{12}) \right)$ ;
  delN2QdelN2 =  $2 x_1 \left( \frac{1}{2} (b_{[1]} + b_{[2]}) - \frac{\sqrt{a_{[1]} a_{[2]}}}{R T} (1 - k_{12}) \right) + 2 x_2 \left( b_{[2]} - \frac{a_{[2]}}{R T} \right)$ ;
  delNBdelN1 =  $\frac{delN2QdelN1}{1 - DD} - \frac{QQ}{(1 - DD)^2} (1 - delNDdelN1)$ ;
  delNBdelN2 =  $\frac{delN2QdelN2}{1 - DD} - \frac{QQ}{(1 - DD)^2} (1 - delNDdelN2)$ ;
  delN2adelN1 =  $R T DD delNBdelN1 + R T hm delNDdelN1$ ;
  delN2adelN2 =  $R T DD delNBdelN2 + R T hm delNDdelN2$ ;
  (*izracunavanje parcijalnih koeficijenata fugacitivnosti*)
  lnphi1 =  $\frac{1}{hm} delNBdelN1 (zm - 1) - \text{Log} \left[ zm - \frac{hm p}{R T} \right] - \frac{am}{2 \sqrt{2} hm R T} \left( \frac{1}{am} delN2adelN1 - \frac{1}{hm} delNBdelN1 \right) \text{Log} \left[ \frac{zm + \left( 1 + \sqrt{2} \right) \frac{hm p}{R T}}{zm + \left( 1 - \sqrt{2} \right) \frac{hm p}{R T}} \right]$ ;
  lnphi2 =  $\frac{1}{hm} delNBdelN2 (zm - 1) - \text{Log} \left[ zm - \frac{hm p}{R T} \right] - \frac{am}{2 \sqrt{2} hm R T} \left( \frac{1}{am} delN2adelN2 - \frac{1}{hm} delNBdelN2 \right) \text{Log} \left[ \frac{zm + \left( 1 + \sqrt{2} \right) \frac{hm p}{R T}}{zm + \left( 1 - \sqrt{2} \right) \frac{hm p}{R T}} \right]$ ;
  (*izracunavanje parcijalnih fugacitivnosti*)
  f = {Exp[lnphi1] x1 p, Exp[lnphi2] x2 p};
];

(*definiranje listi za graficki prikaz rezultata*)
pxlist = {};
pylist = {};
xlist = {};

(*otvaranje petlje sastava*)
xstart = 0.01;

Do[
  Print[];
  (*definiranje sastava*)
  x1 = xstart + j * 0.01;
  x2 = 1 - x1;
  x = {x1, x2};

  (*izracunavanje pocetne pretpostavke tlaka*)
  p = Sum[xi1 psat[i], {i, 1, nk}];
  (*izracunavanje pocetne pretpostavke koeficijenta raspodjelje*)
  K = psat / p;
  (*izracunavanje sastava parne faze*)
  y = K x;

  (*postavljanje inicialne vrijednosti testa materijalne bilance parne faze*)
  test2 = 100;

  (*otvaranje petlje materijalne bilance parne faze*)
  While[test2 > 0.000000001,
    (*izracunavanje koeficijenta kompresibilnosti kapljevine*)
    {x1, x2} = x;
    zfunckija;
    ZL = Min[Select[{z[[1, 1, 2]], z[[2, 1, 2]], z[[3, 1, 2]]}, #1 ∈ Reals &]];
    (*izracunavanje parcijalnih fugacitivnosti kapljevine*)
    zm = ZL;
    ffunckija;
    fL = f;
    (*postavljajte inicialne vrijednosti testa ravnoteze*)
    test1 = 100;

    (*otvaranje petlje testa ravnoteze*)
    While[test1 > 0.000000001,
      (*izracunavanje koeficijenta kompresibilnosti pare*)
      {x1, x2} = y;
      zfunckija;
      ZV = Max[Select[{z[[1, 1, 2]], z[[2, 1, 2]], z[[3, 1, 2]]}, #1 ∈ Reals &]];
      (*izracunavanje parcijalnih fugacitivnosti pare*)
      zm = ZV;
      ffunckija;
      fV = f;
      (*izracunavanje novog sastava pare*)
      ynovi = fL / fV y;
      (*izracunavanje testa ravnoteze*)
      test1 = Sum[Abs[ynovi[i] - yi1], {i, 1, nk}];
      (*novi sastav pare postaje starim*)
      y = ynovi;
      (*zatvaranje petlje testa ravnoteze*)
    ];
    (*izracunavanje testa materijalne bilance parne faze*)
  ];
];

```

```

(*izracunavanje testa materijalne bilance parne faze*)
test2 = Abs[-1 + Sum[y[i], {i, 1, nk}]];
(*korigiranje tlaka sustava*)
p = p - Sum[y[i], {i, 1, nk}];
(*zatvaranje petlje materijalne bilance parne faze*)
];

(*ispis rezultata*)
Print["Tlak sustava,          p = ", p];
Print["Fugacitivnosti komponenata u kapljevini, fU = ", fU];
Print["Fugacitivnosti komponenata u pari      , fV = ", fV];
Print["Sastav kapljevine      , x = ", x];
Print["Sastav pare            , y = ", y];
Print[];

(*punjenje listi za graficki prikaz rezultata*)
AppendTo[pxlist, {x[p], p}];
AppendTo[pylist, {y[p], p}];
AppendTo[xylist, {x[p], y[p]}];

(*zatvaranje petlje sastava*)
, {j, 0, 98}];

(*graficki prikaz rezultata proracuna*)
ListPlot[xylist, AspectRatio -> 1, PlotRange -> {{0, 1}, {0, 1}}, Frame -> True, PlotJoined -> True, AxesLabel -> {"x1", "y1" }]
slika1 = ListPlot[pxlist, AspectRatio -> 1, PlotRange -> {{0, 1}, {Min[Transpose[pxlist][[2]] + 0.8, Max[Transpose[pxlist][[2]] * 1.1]]}}, Frame -> True, PlotJoined -> True, DisplayFunction -> Identity];
slika2 = ListPlot[pylist, AspectRatio -> 1, PlotRange -> {{0, 1}, {Min[Transpose[pylist][[2]] + 0.8, Max[Transpose[pylist][[2]] * 1.1]]}}, Frame -> True, PlotJoined -> True, DisplayFunction -> Identity];
Show[slika1, slika2, DisplayFunction -> $DisplayFunction]

```

9. ŽIVOTOPIS

[REDAKCIJSKI PRIMJEĆA] Pohađao sam Osnovnu školu Julija Klovića u Zagrebu te Gornjogradsku gimnaziju u Zagrebu. Nakon toga sam upisao Fakultet kemijskog inženjerstva i tehnologije u Zagrebu na kojem kanim završiti diplomski studij.